

ミュオンビームライン2

— OHO' 23 —



高エネルギー加速器研究機構(KEK)



大強度陽子加速器施設(J-PARC)

河村 成肇

Muon Facility in MLF, MUSE

S-line μ^+

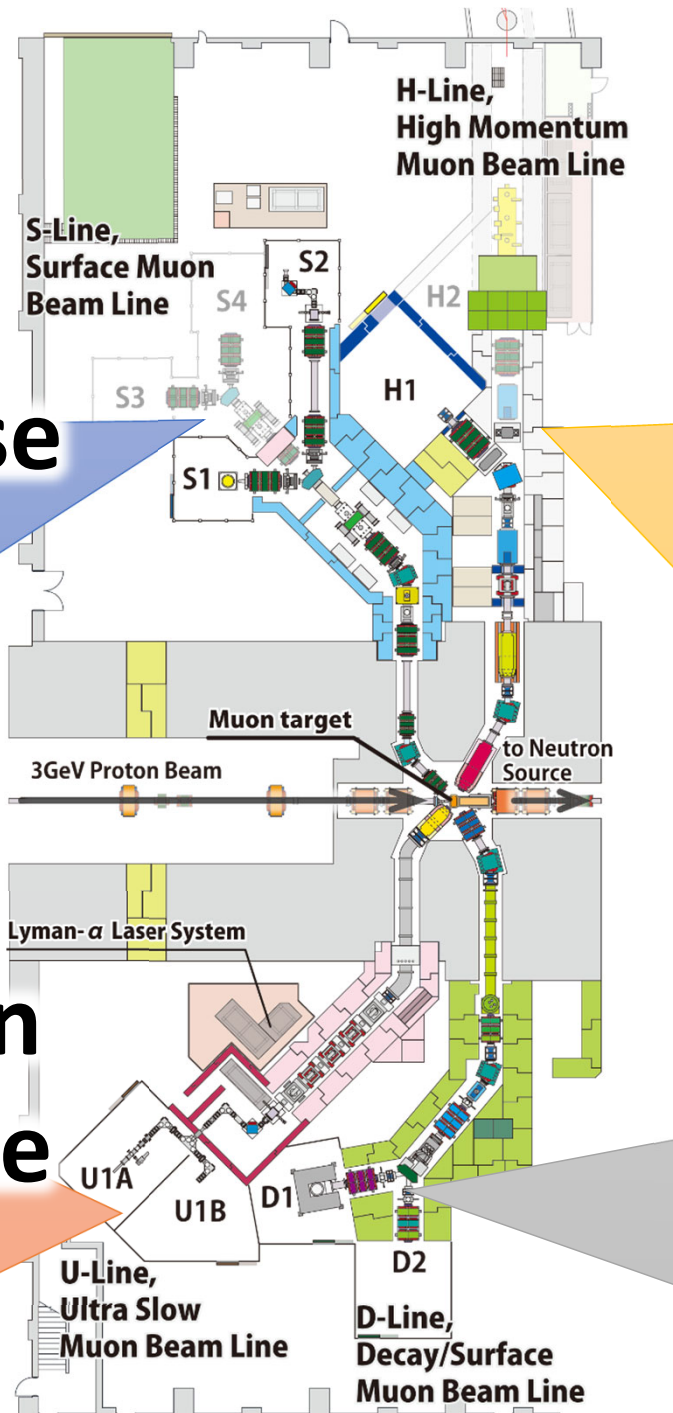
Surface muon (4 MeV)
dedicated to spin polarized
in 4 experimental areas
Simultaneous use

ultra-low temperature
high magnetic field
pulsed excitations etc.

U-line μ^+

Ultra Slow Muon
(0.1 - 30 keV)
Surface/Interface
/interface sciences (U1A)

Test-bench for T μ M
(U1B)



H-line μ^+/μ^-

High-intensity surface
High Intensity
muon (<4 - 50 MeV)
General Use

“fundamental physics”
requiring high precision,
high sensitivity

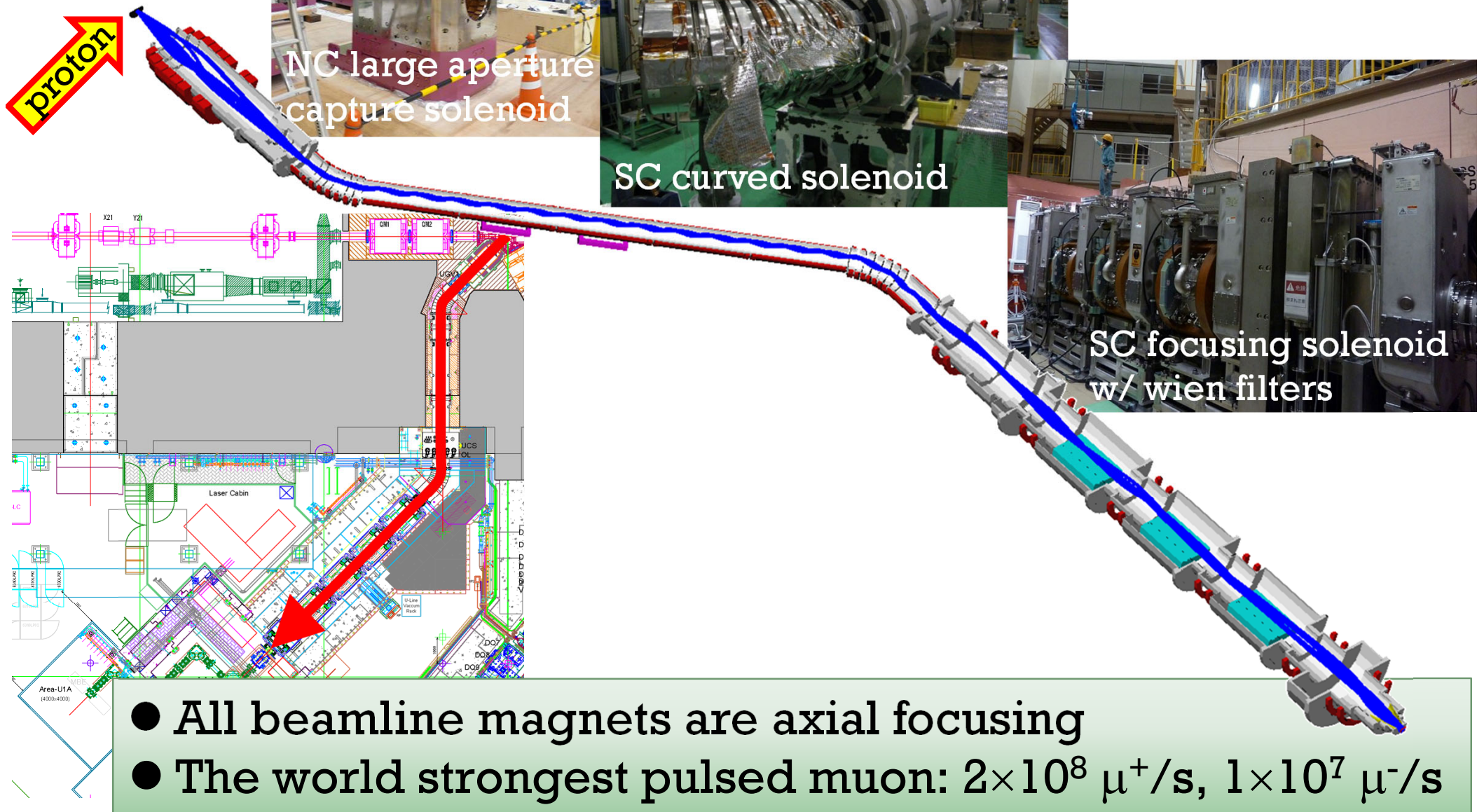
D-line μ^+/μ^-

Decay and surface muon
General Use
to answer a variety of
users' demands with
μSR spectrometer (D1)
general purpose (D2)

新しいビームライン

より大強度に
MUSE UラインとHライン

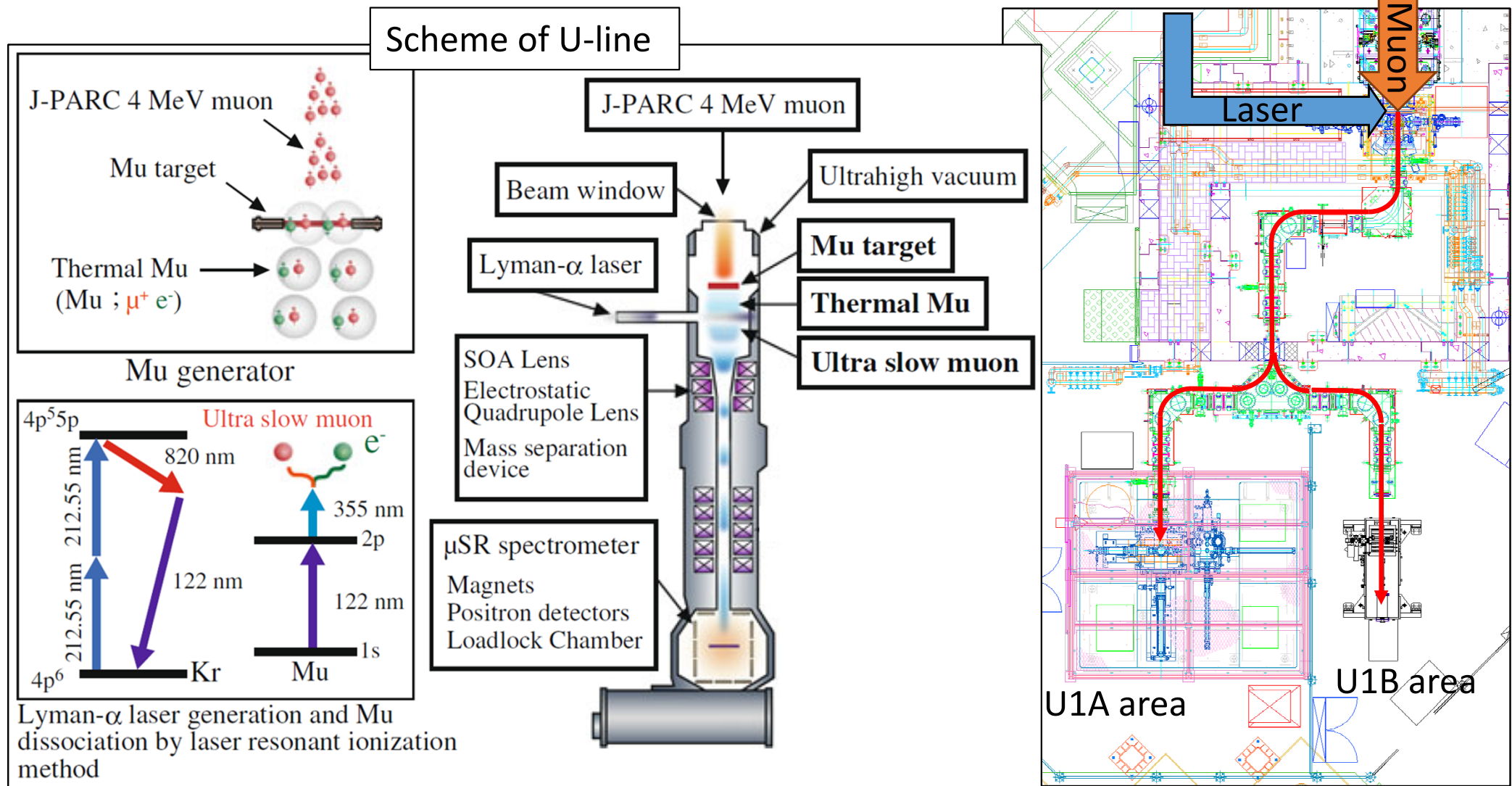
U-line: The highest intensity beamline



Ultra Slow Muon beam

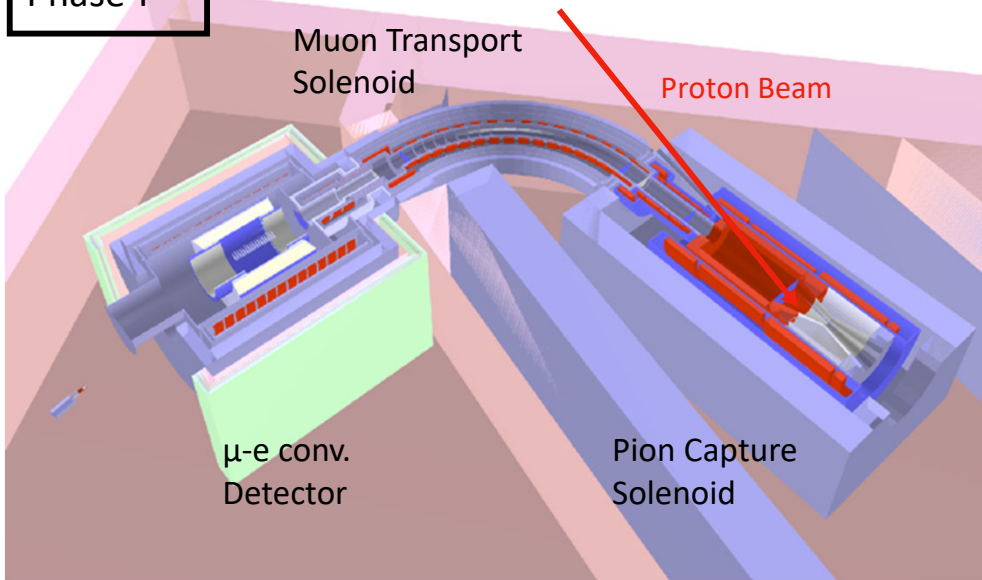
Ultra Slow Muon (USM) beam has a small emittance

- Controllable low energy (50 eV ~ 30 keV) with a small energy spread (\sim 50 eV)
- Small beam size \sim 1 mm
- Pulse beam with a short time width of \sim 2 ns



COMET in J-PARC Hadron Facility

Phase-I

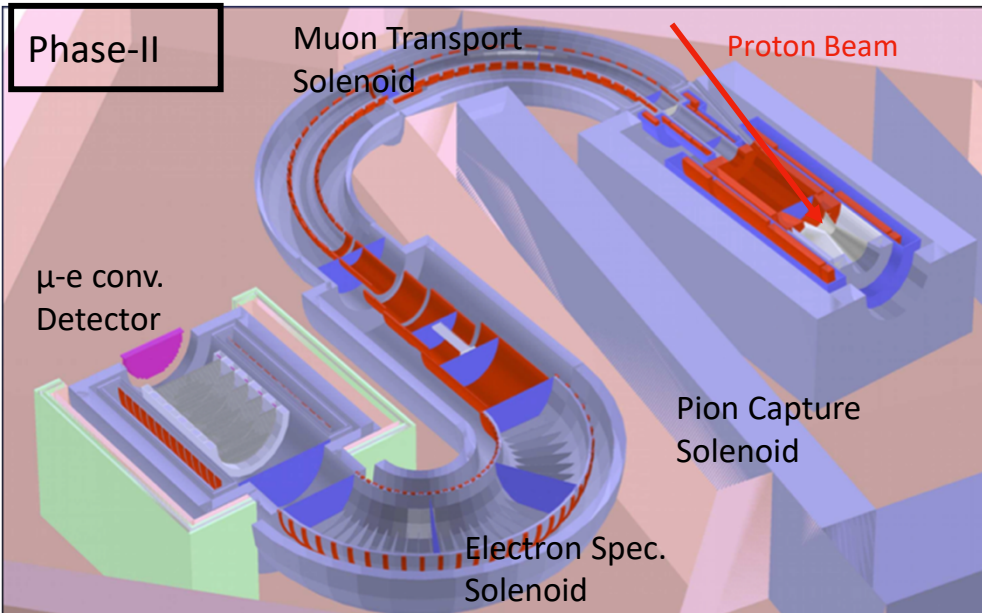


Target Sensitivity $<10^{-14}$ with 3.2kW beam

- **Proton beam line** construction in progress to be completed in **FY2021**
- **Graphite** as a pion production target
- Pion Capture Solenoid construction is in the 2nd year of multi-year construction contract (FY2020-2022)
- Physics Detector
 - CDC and hodoscope in a solenoid
 - Muon stopping target (Al) at the center of the solenoid

Beam engineering run in FY2022 and physics in FY2023.

Phase-II



Target Sensitivity $<10^{-16}$ with 56 kW beam

- **Extension of muon transport solenoid to cope with higher proton beam power**
 - More efficient beam background suppression
 - Pions decay to muons in longer transport
- **Tungsten alloy** as a pion production target
- **Electron spectrometer solenoid** to suppress the detector counting rate
- Physics detector
 - Straw-tube tracker and LYSO calorimeter
 - Muon stopping target (Al + others) in a gradient magnetic field for the purpose of signal electron collection with a magnetic lens

軸収束型ビームラインの問題点

- ・確かにビーム強度(ミュオン数)の観点では良い
COMETのようにインライン標的を用いると理想的
- ・ただし、軸収束磁場から出た瞬間にビームが発散してしまうので、磁場内(COMET)か磁場から出てすぐ(Uライン)にビームを停止させる試料を配置
- ・それに特化した実験なら問題ないが、様々な実験装置を駆使する汎用的な使い方には向かない
ミュオン科学では汎用性が大事
- ・強度を落とさず、汎用性のあるビームラインを！

Design concept of H line

- High muon intensity \Rightarrow capture solenoid and axial focusing elements
- Momentum tunability, install-ability of kicker and wien filter \Rightarrow long focus
 × high field axial focusing elements
- Fusion of these two conflict(?) concept:
 high field capture solenoid \rightarrow bend \rightarrow pair of opposite field solenoids
- High intensity, good characteristic beam

Optics design for H line

Capture solenoid (HS1)

Bending magnet (HB1)

Gate valve (HGV1)

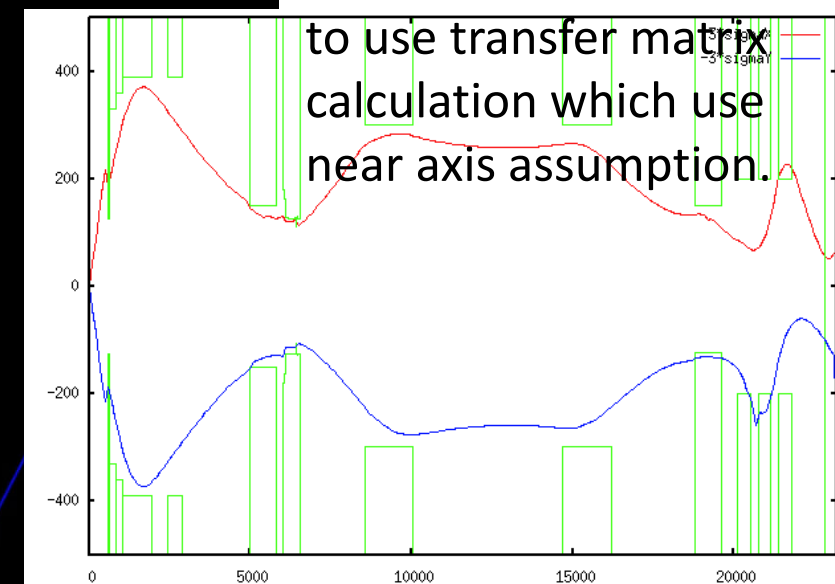
Transport solenoid
(HS2 and HS3)

Septum or bending magnet (HB2)

3GeV proton

↑beam transport tunnel

Kicker magnets and/or
wien filers are installable

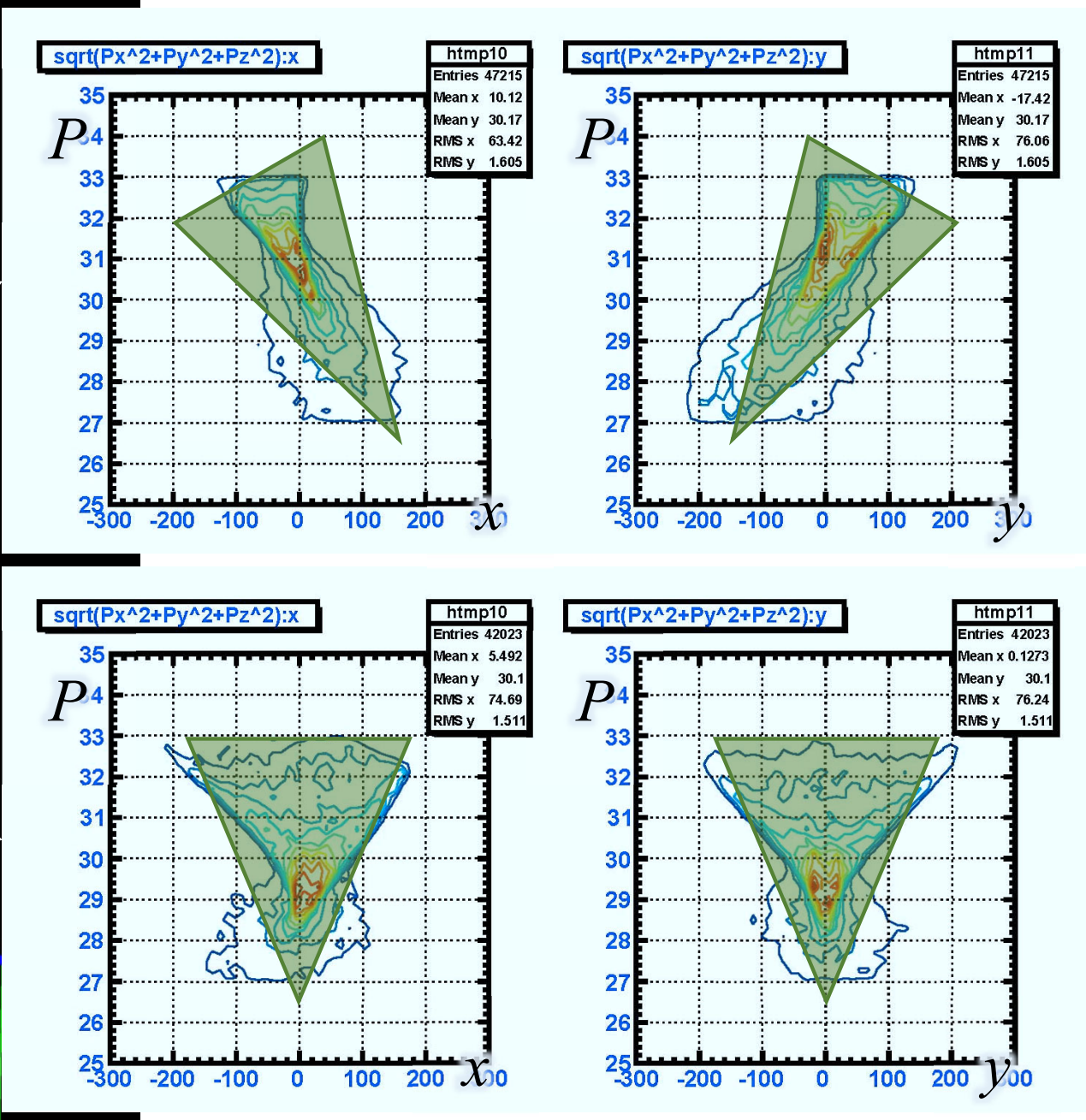
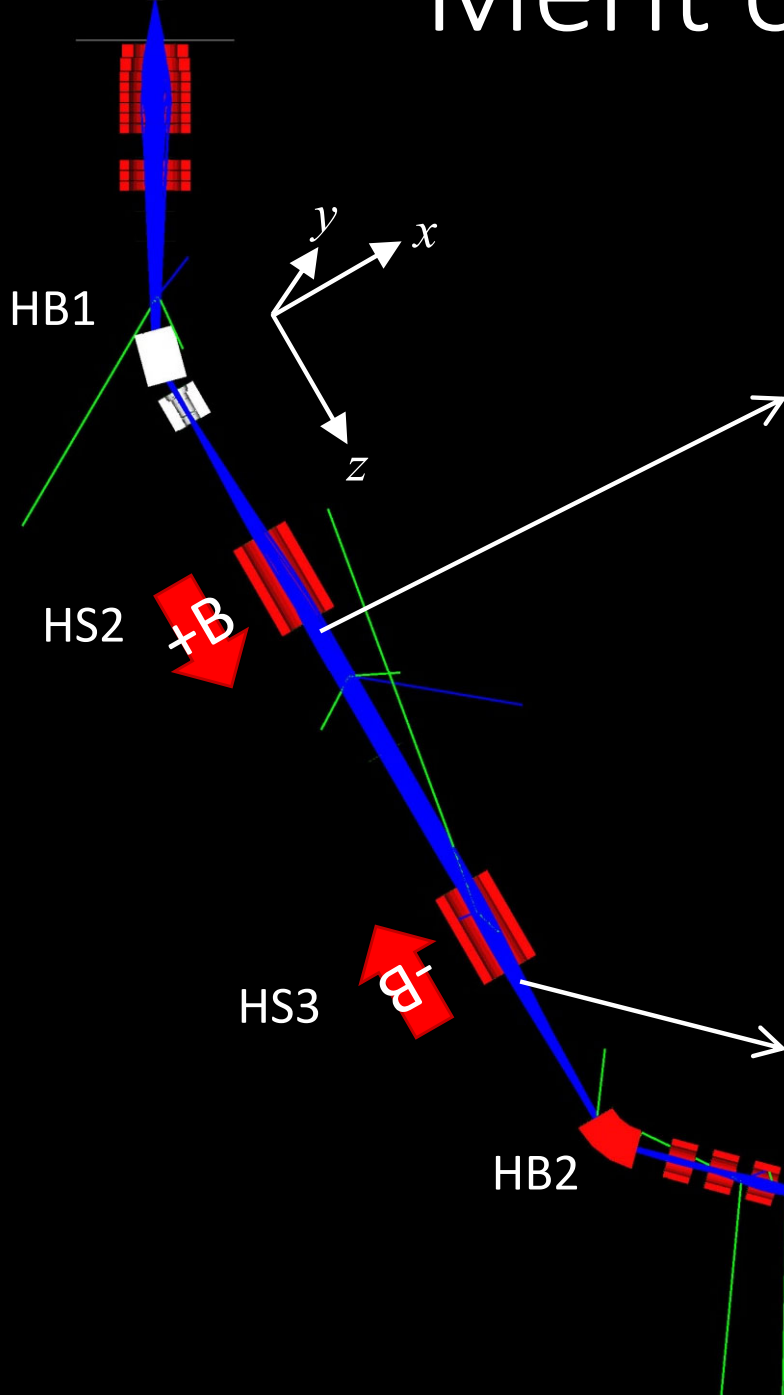


30 MeV/c mono-
chromatic beam calc.
performed by a MC-code
(G4beamline)

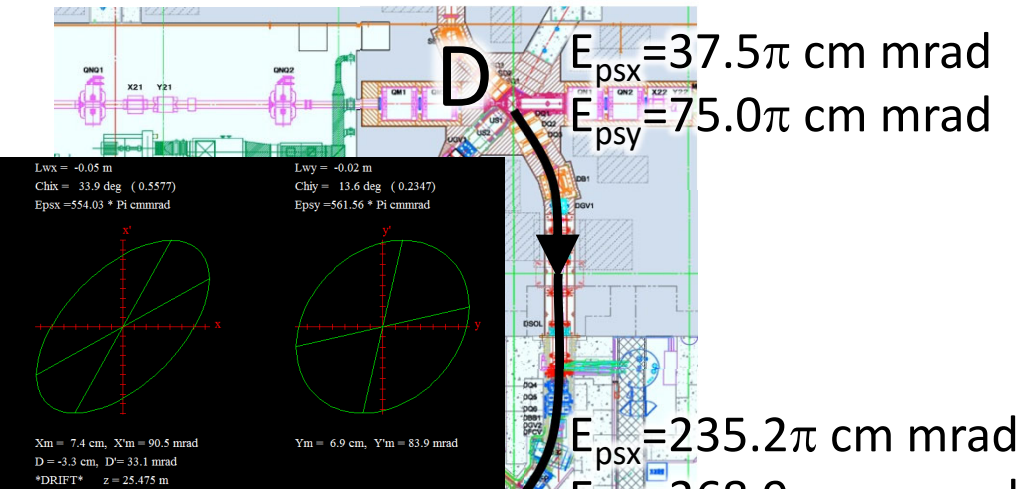
Large aperture short
solenoids do not allow us

to use transfer matrix
calculation which use
near axis assumption.

Merit of opposite field solenoid



Merit of opposite field solenoid

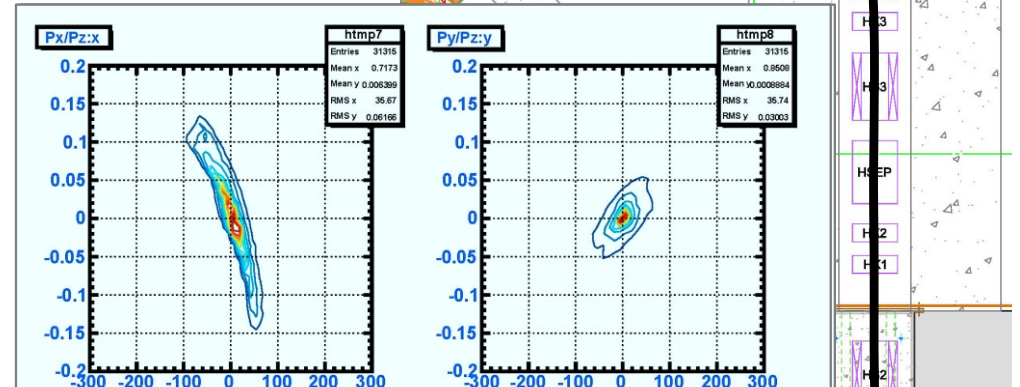


$E_{psx} = 235.2\pi \text{ cm mrad}$
 $E_{psy} = 368.9\pi \text{ cm mrad}$



Q電磁石のフリンジの効果で
エミッタンスが増加
=>電磁石の数が多い: ×

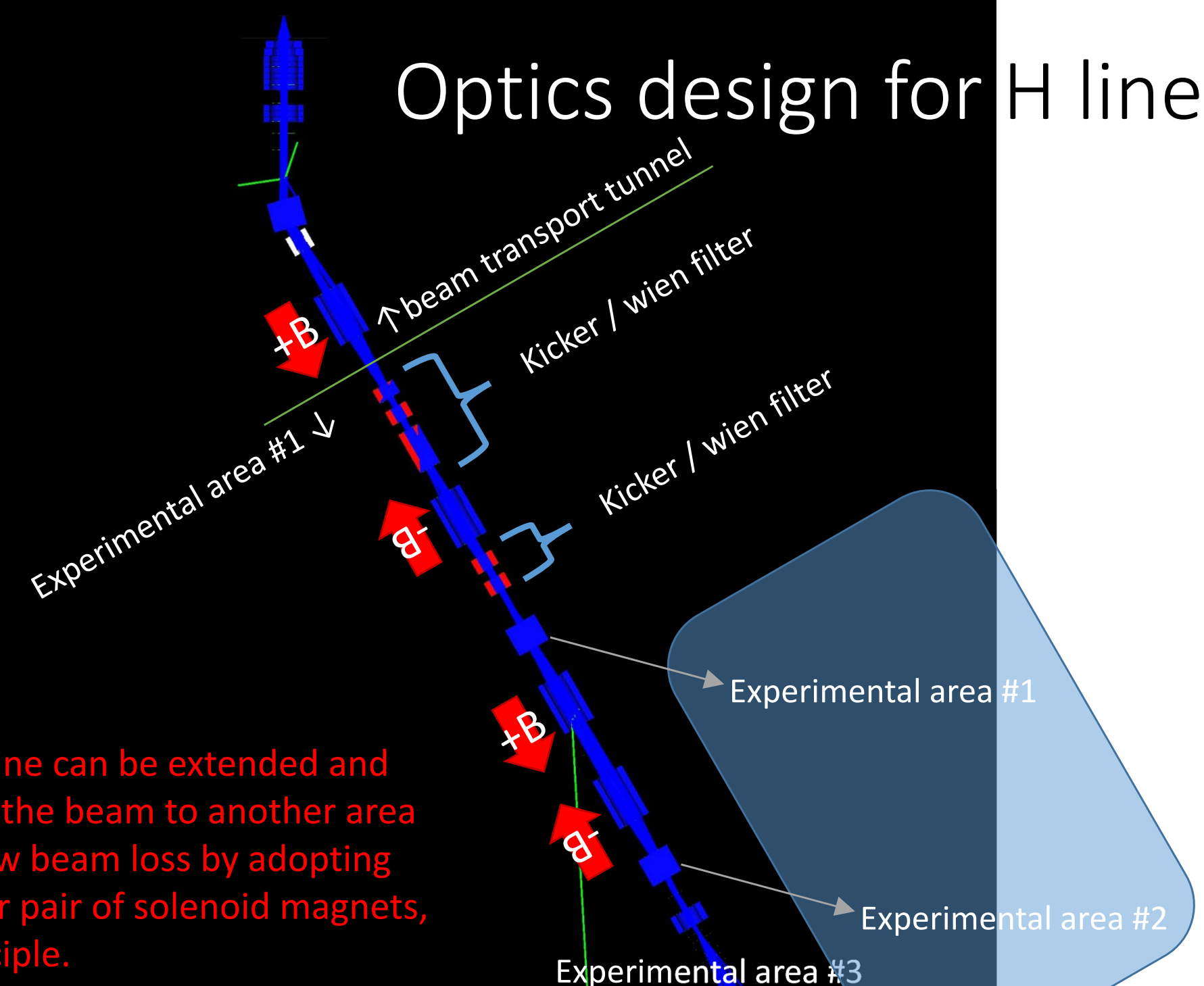
$E_{psx} \sim 680\pi \text{ cm mrad(RMS)}$
 $E_{psy} \sim 340\pi \text{ cm mrad(RMS)}$
Final FocusingのQによる増加



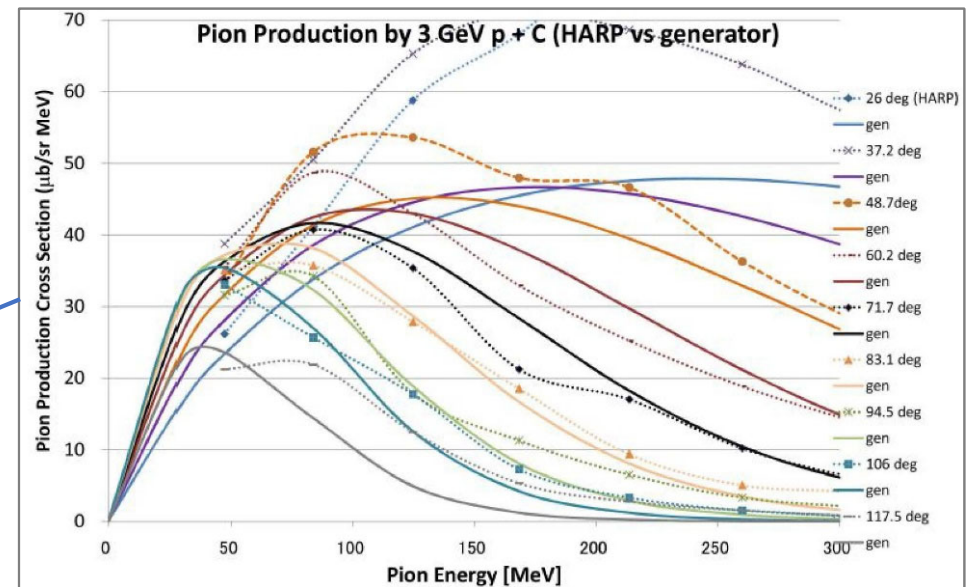
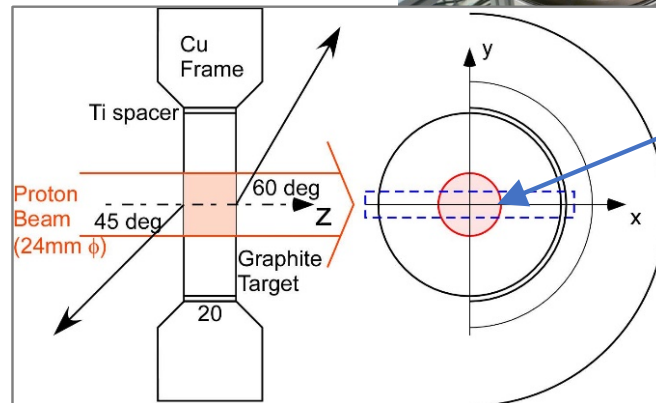
$E_{psx} \sim 350\pi \text{ cm mrad(RMS)}$
 $E_{psy} \sim 350\pi \text{ cm mrad(RMS)}$

少ないQ電磁石でエミッタンス
の増加: 小

Optics design for H line



Yield evaluation - Pion production



muon production target: t 2cm graphite (~2014: fixed, 2014~: rotating)

Empirical formula of pion production by 3GeV proton

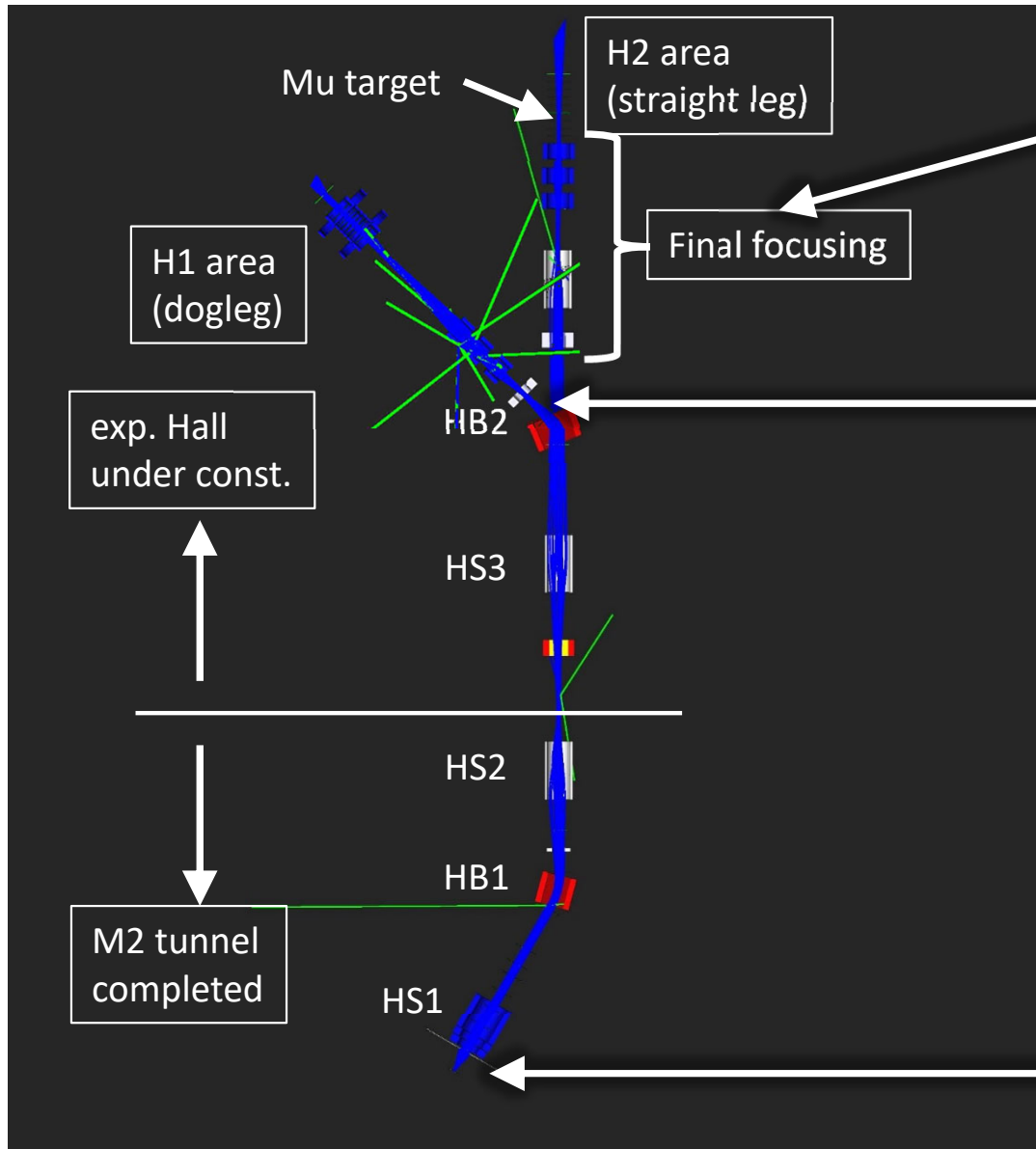
$$d\sigma^2/dE d\Omega = \frac{80 \times 40 aE}{[33 + 1200a + 40aE][1 + \exp(40aE/60 - 2)][1 + \exp((E - 1000)/200)]}$$

$$a = 0.001 + 0.02 \tan \theta_1$$

$$\theta_1 = \theta / 1.5 \quad (\theta < 90^\circ), = 0.32(\theta - 90) + 60 \quad (\theta > 90^\circ)$$

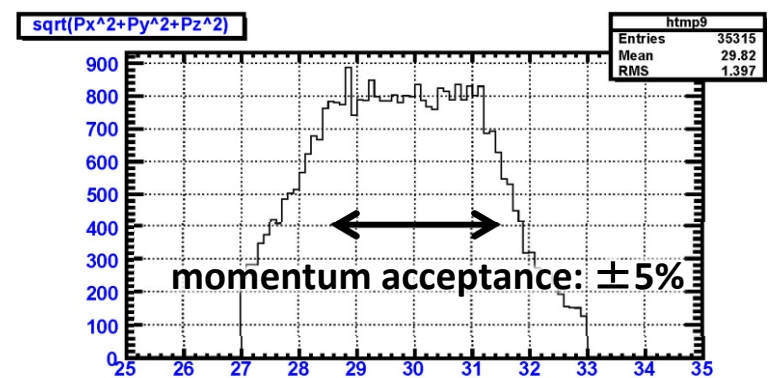
Consistent with Geant/GHEISHA, Geant/FLUKA

Yield evaluation - Beam transmission



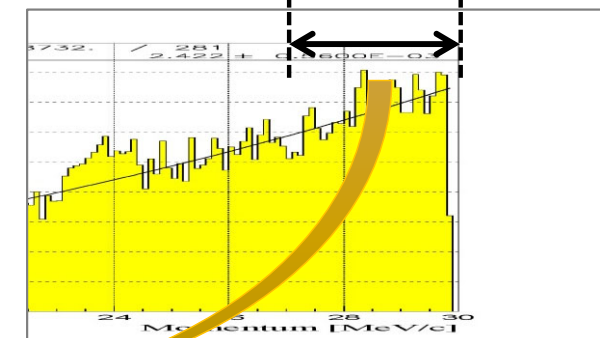
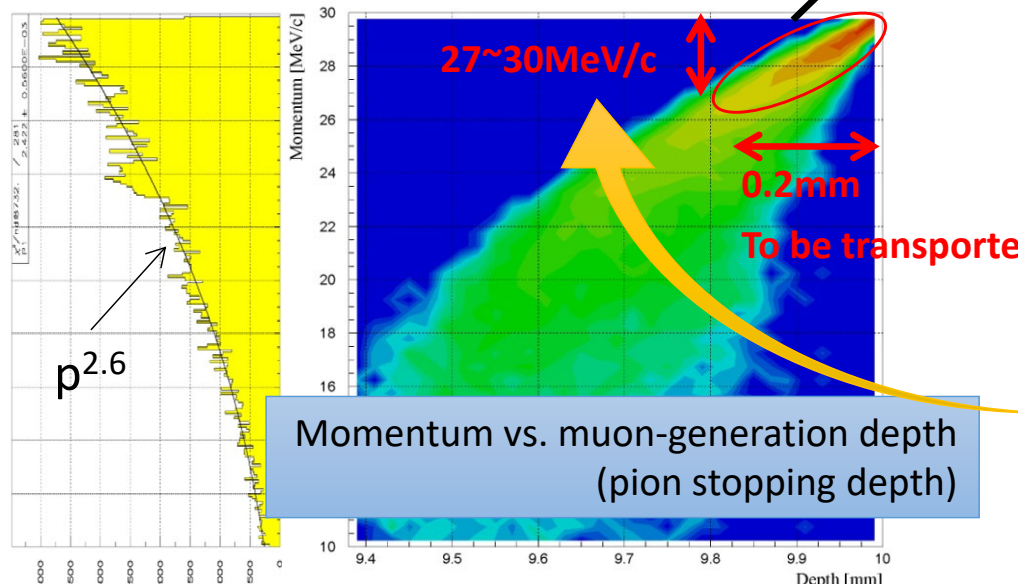
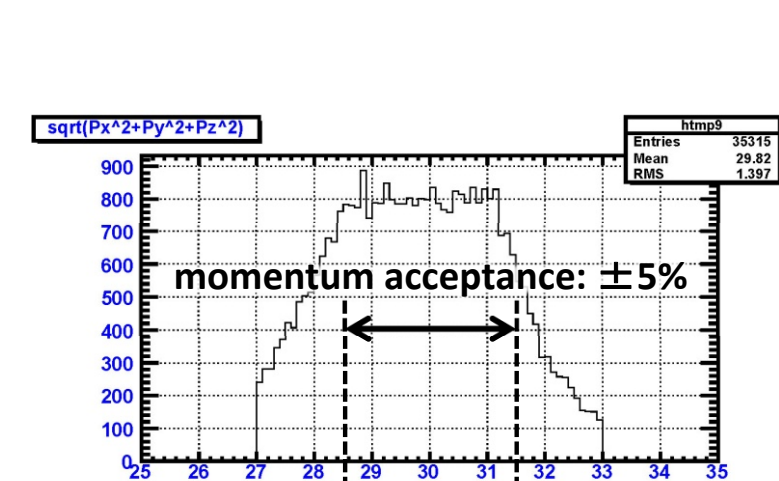
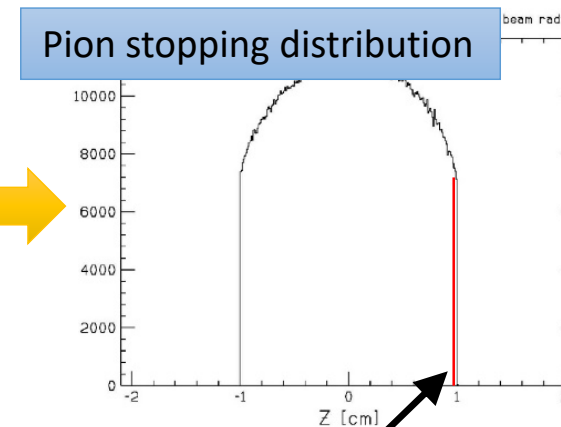
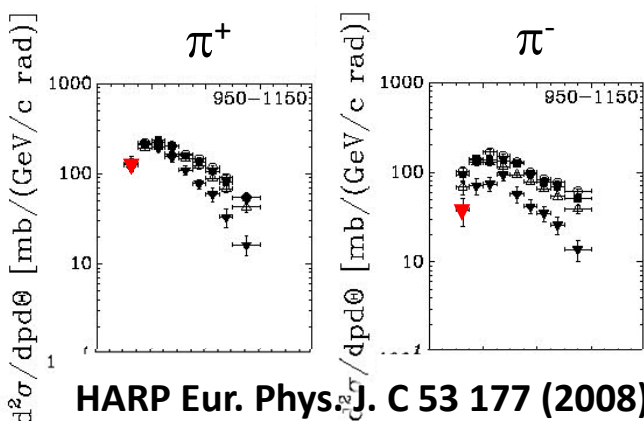
Typical Transmission efficiency in Final focusing part: > 80%

Transmission efficiency from the entrance of HS1 to the exit of HB2
 $\Rightarrow 81\%$ (geom. acceptance: 109 mstr)



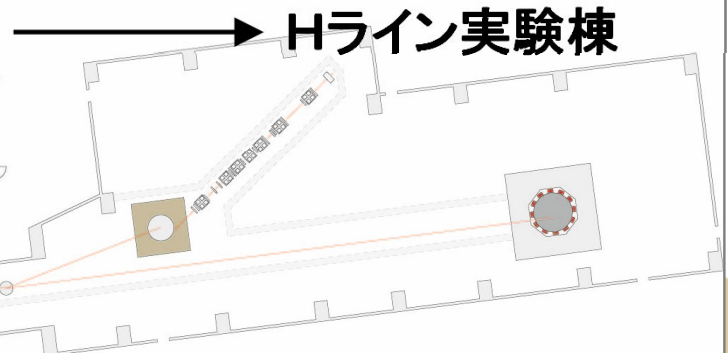
Aperture of the entrance of H line
 $\varnothing 250$ mm @ 60 cm apart from the target
 $\Rightarrow 136$ mstr

Beam intensity evaluation

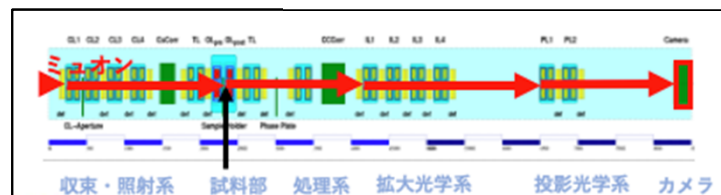


$15,000M \times 0.109/4\pi \times 0.8$
 $= 100M/s$ surface muon
@ exp. area

Hラインの延長計画

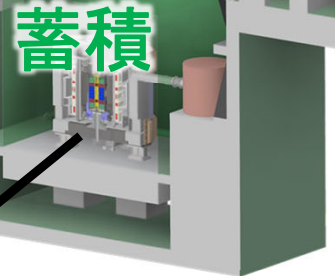
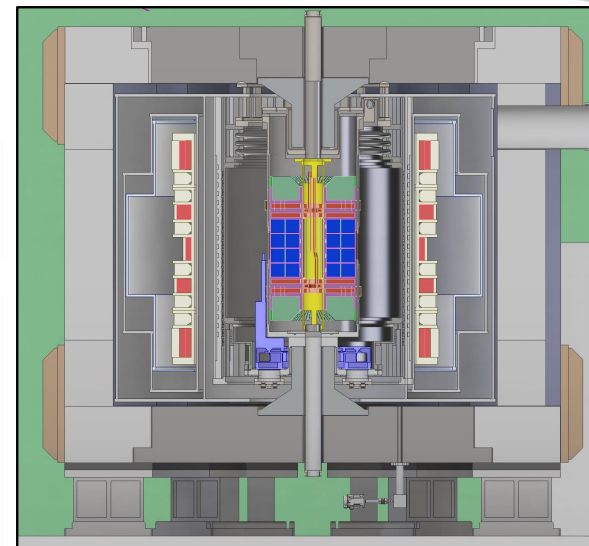
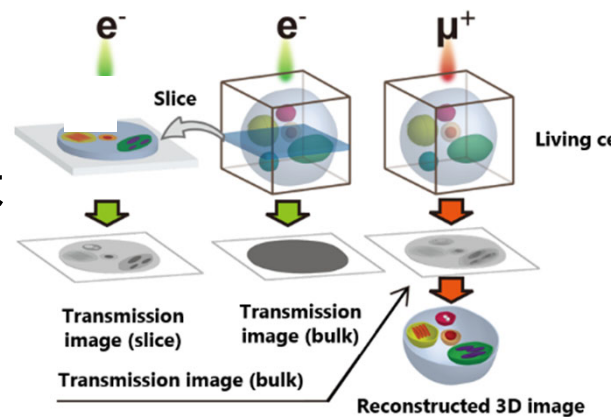


Hライン実験棟(建設予定)



透過型ミュオン顕微鏡

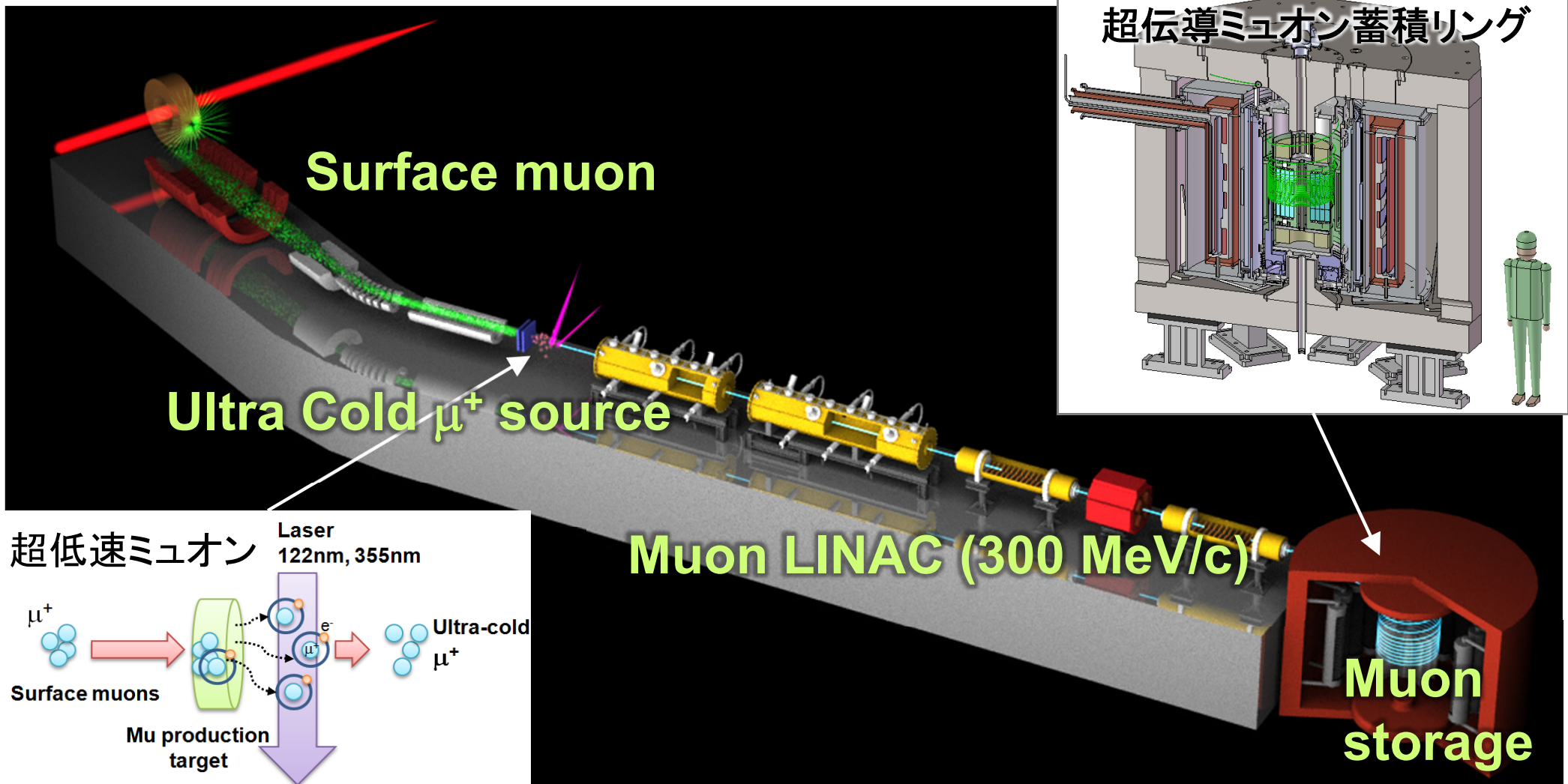
ミュオンの高い
透過能力により
電子顕微鏡では
不可能だった
**生きた細胞の
丸ごと顕微観察**



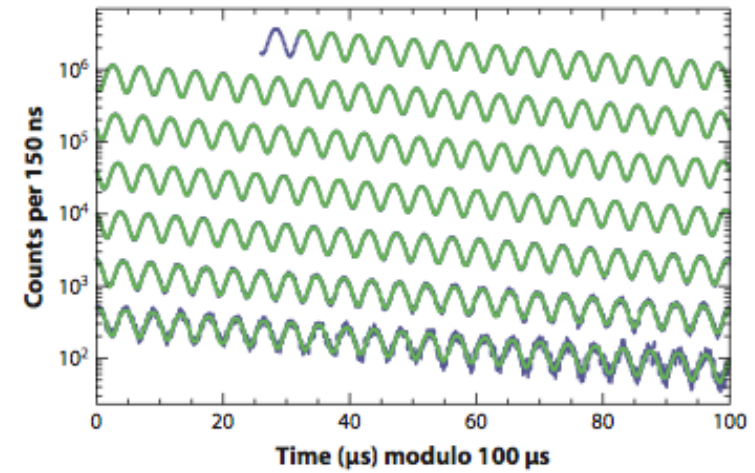
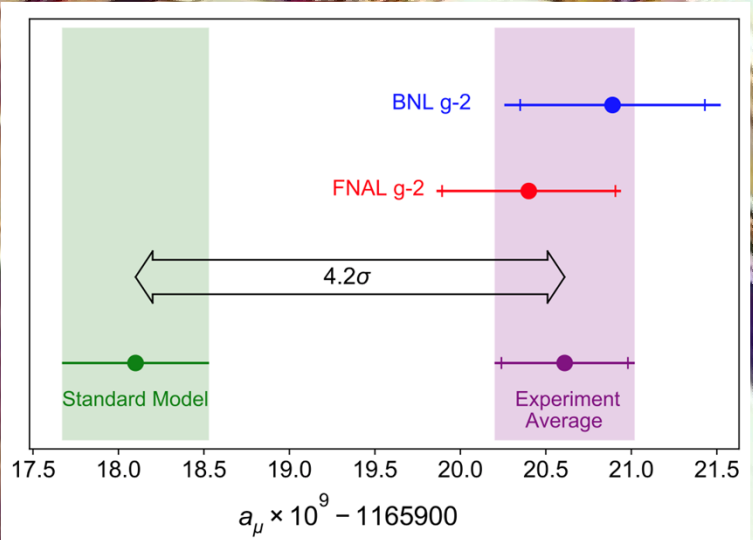
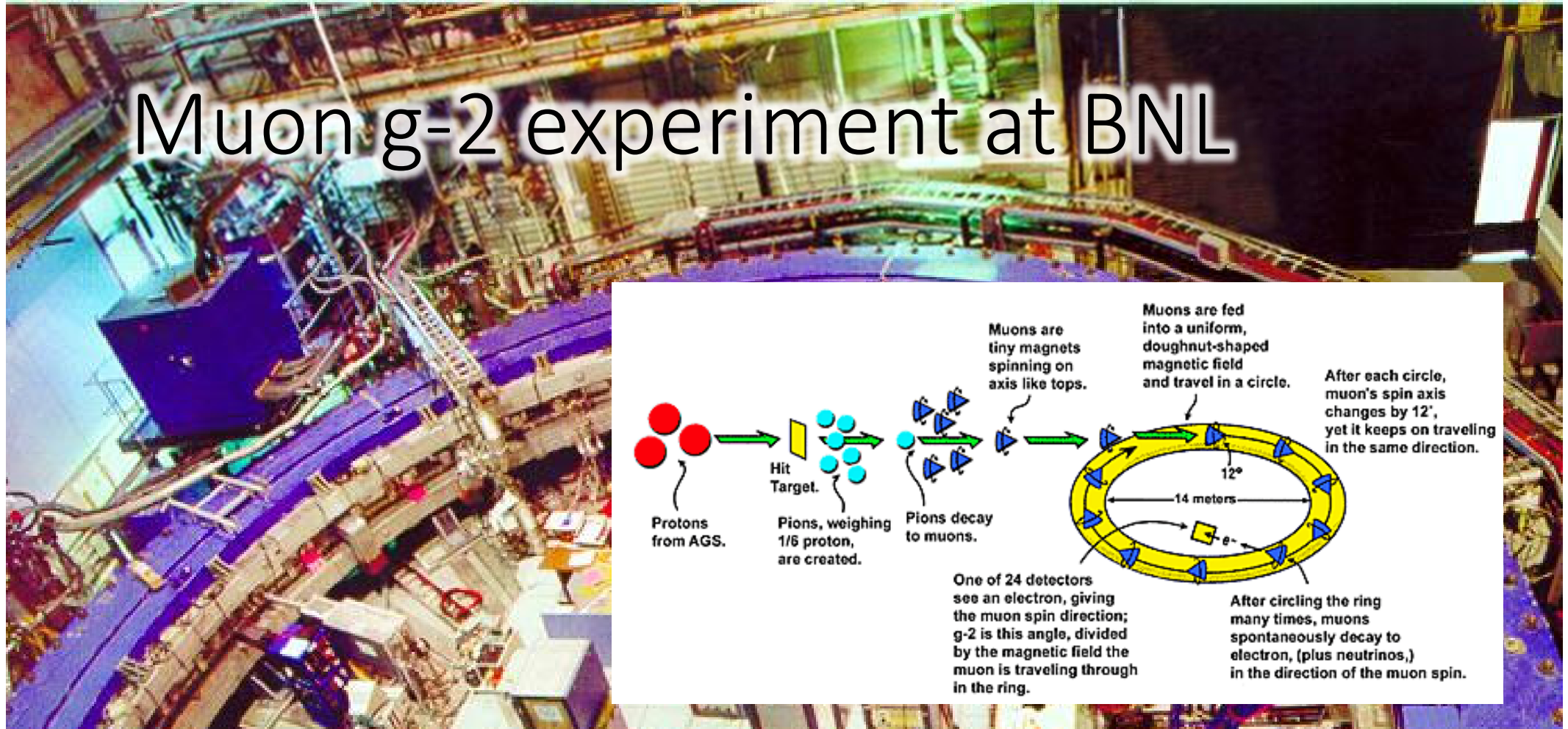
蓄積
g-2/EDM実験
素粒子標準模型を超える**新物理探索**

J-PARC E34(g-2/EDM)実験

- ・収束電場を使わない
 - ・低エミッタンスのミュオンビーム(超低速ミュオン)を再加速



Muon g-2 experiment at BNL



Fermi lab E989実験

- BNLからミュオン蓄積リングを移築
- より高統計(より多くの崩壊電子を検出すること)で
 $\Delta a_\mu \leq \pm 16 \times 10^{-11}$ (0.14ppm)を目指す



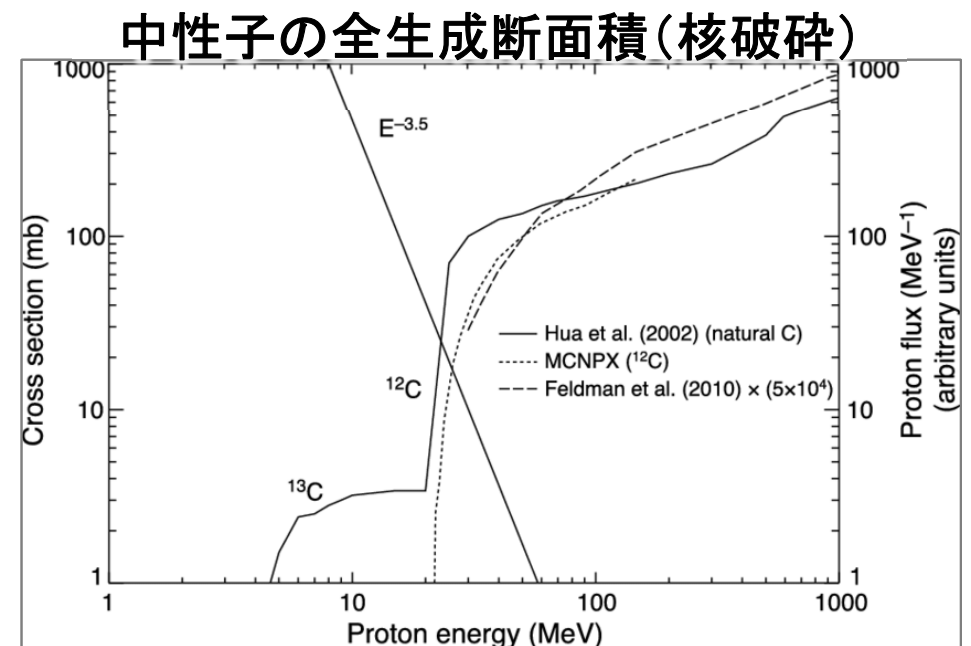
2013年に直径15mのリングをNYからイリノイ州に輸送

大強度ビームの問題点

高放射線環境下で安定して動くビームライン

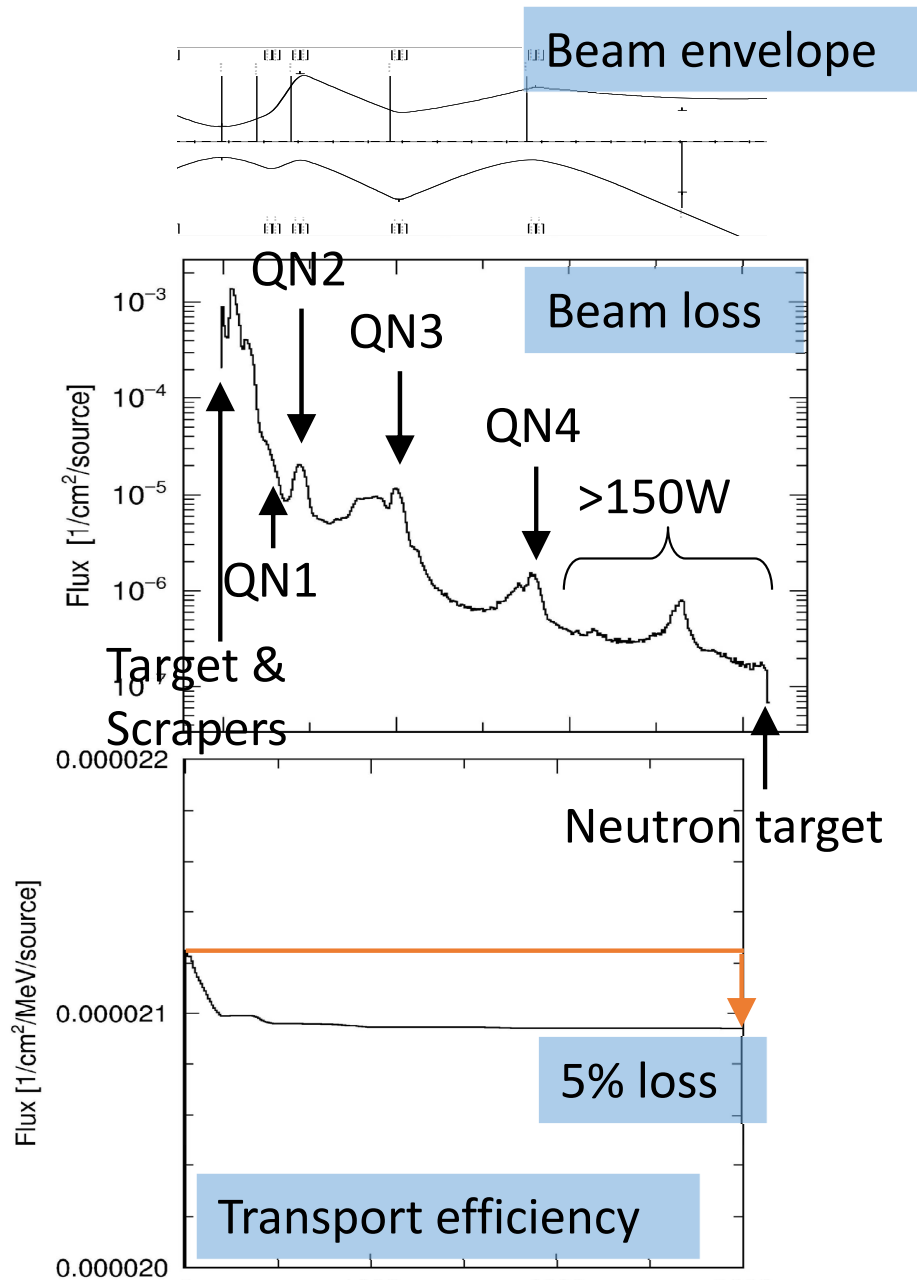
放射線対策

- 陽子と標的(炭素原子核)との反応は π 中間子の生成だけではない
 - ミュオン標的では約5%(50kW)の陽子を消費
 - π^+ 生成断面積(50mb) << 中性子生成断面積(1000mb)
毎秒 10^{14} 個の中性子が生成(周囲の放射化等、様々な反応)
 - 2次粒子生成に使われるのは高々数100W
 - π 中間子生成: $(300 + 100) \text{ MeV} \times 5 \cdot 10^{12} \text{ s}^{-1} \sim 300 \text{ W}$
- 放射線対策が必須
 - (吸収)線量率評価
 - 放射線遮蔽
 - 耐放性材料選定
 - 放射能生成量評価
(機器、空気、冷却水)
 - 運転・保守シナリオ

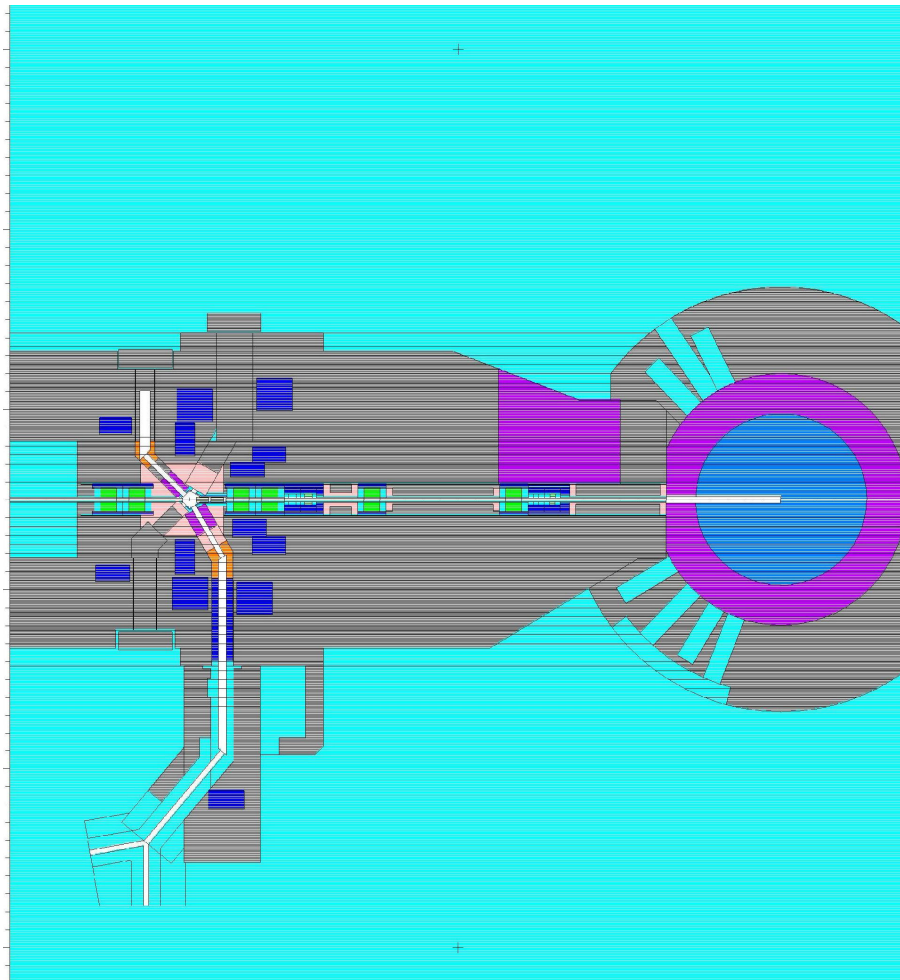


Beam loss

- The 2-cm graphite target causes a 5% (50 kW of 1MW) beam loss mainly at target and scrapers.
 - The effect of the scattered particles and secondary particles reaches whole M2 tunnel and its surroundings.
- The effect of radiation and the related things are serious problem for MLF, J-PARC.



Evaluation of radiation dose

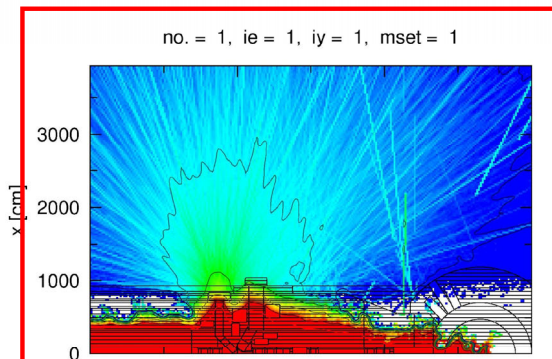


- Several MC (MCNPX, NMTC/JAM, PHITS) were used.
- Beam loss around the muon target:
3-GeV proton beam with an emittance of $81\pi \text{ mm}\cdot\text{mrad}$ is injected into the muon target.
- Beam loss at downstream:
Evaluation is performed with some margin due to miss-alignment and so on.

Simulation result

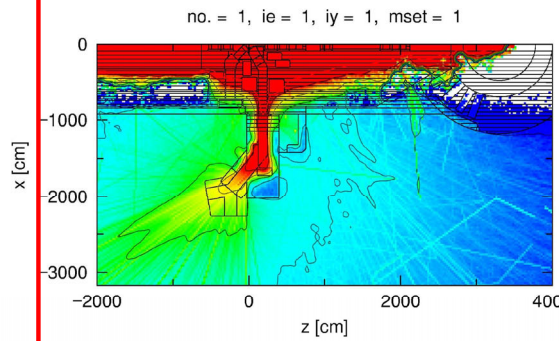
East side exp. hall

Dose map in area 4

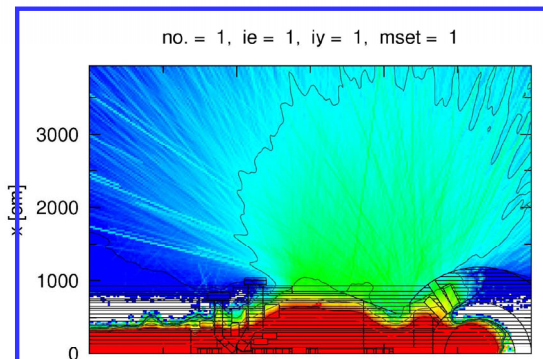


Dose map in area 5

Dose from M-target

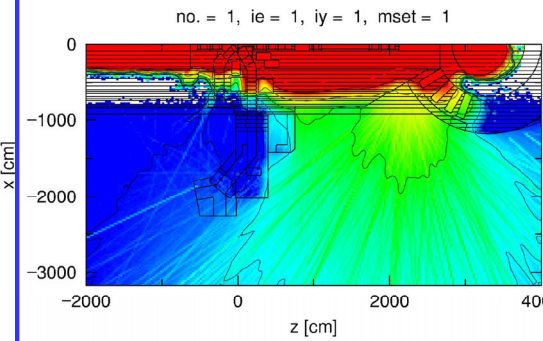


Dose map in area 4



Dose map in area 5

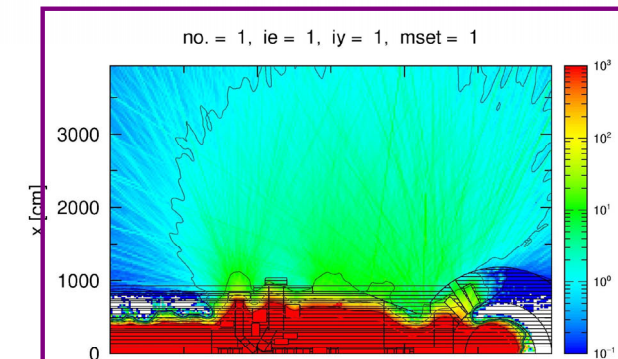
Dose from BT line



Dose map in area 4

Dose map in area 4

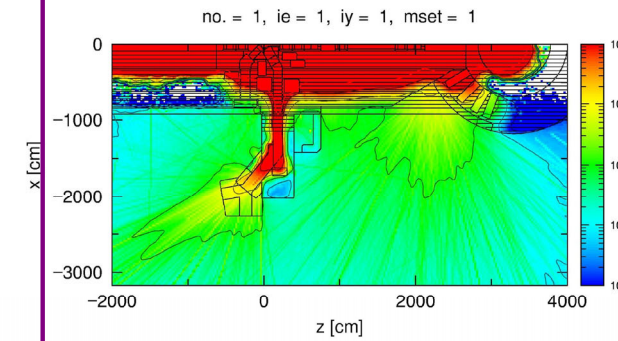
Date = 12



Dose map in area 5

total

Date = 1



West side exp. hall

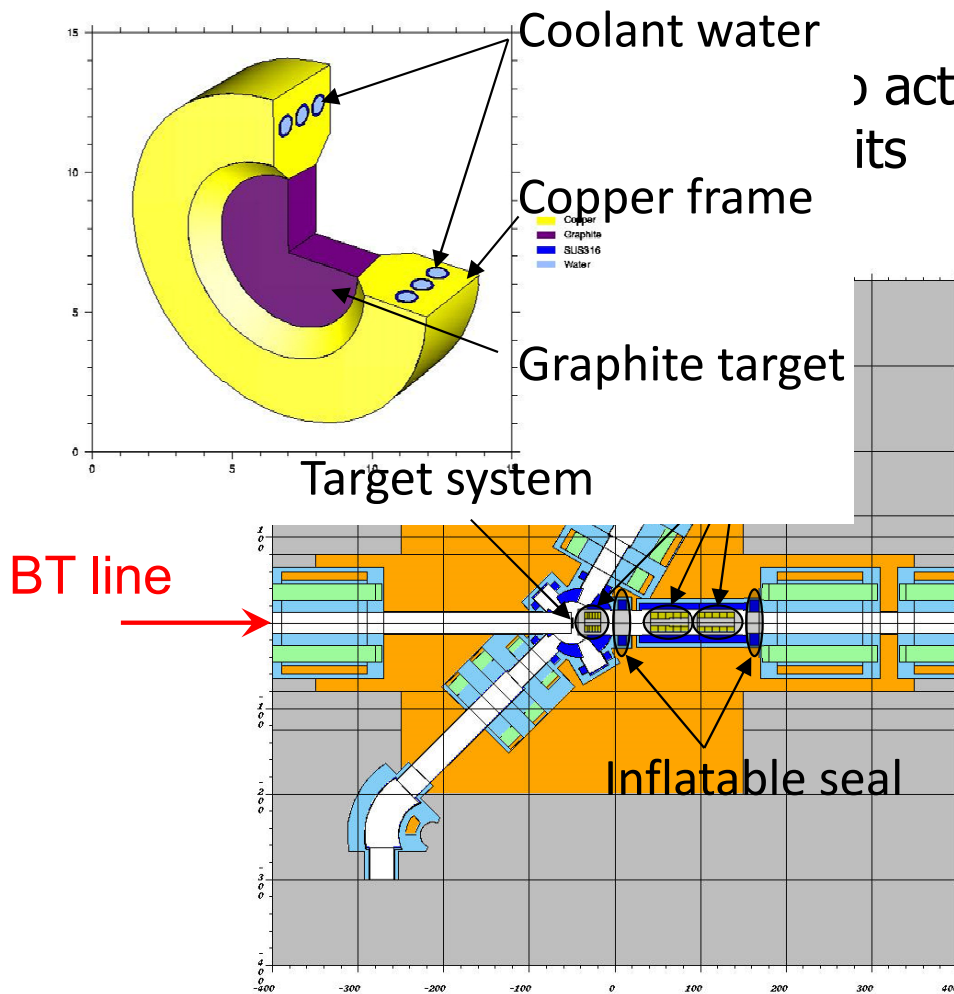
plotted by AxGIL 4.35

plotted by AxGIL 4.35

calculated

Evaluation model

Evaluation of:



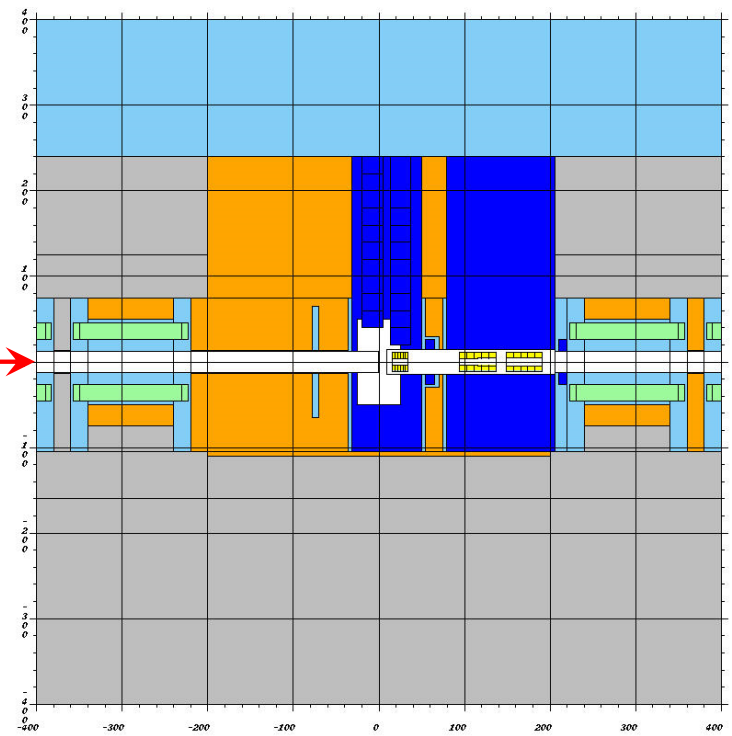
activity production
its

Decay-TURTLE
PHITS and/or MCNP
DCHAIN-SP and MCNP

```
08/03/02 20:14:44
mcnp4c muon target streaming

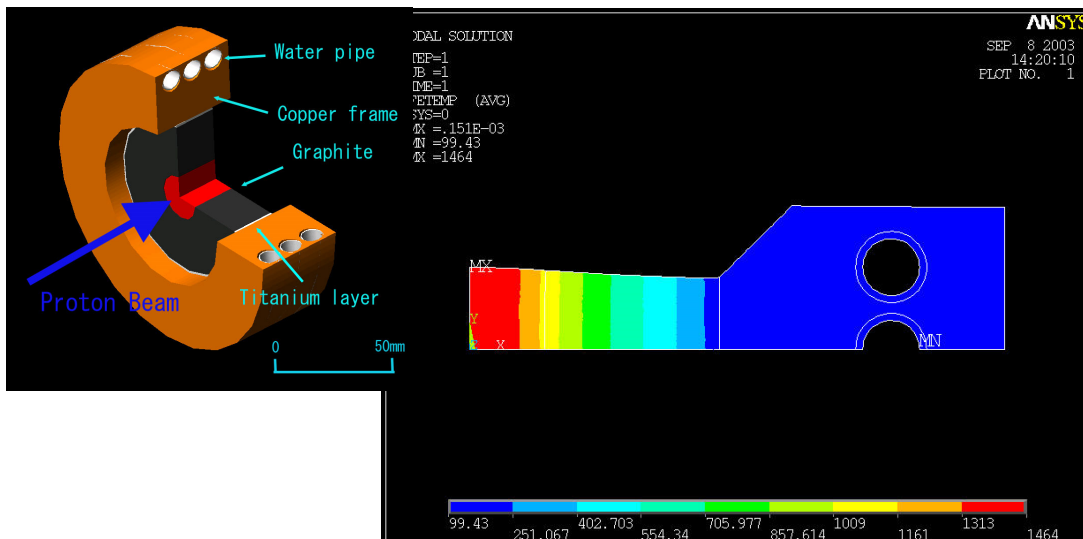
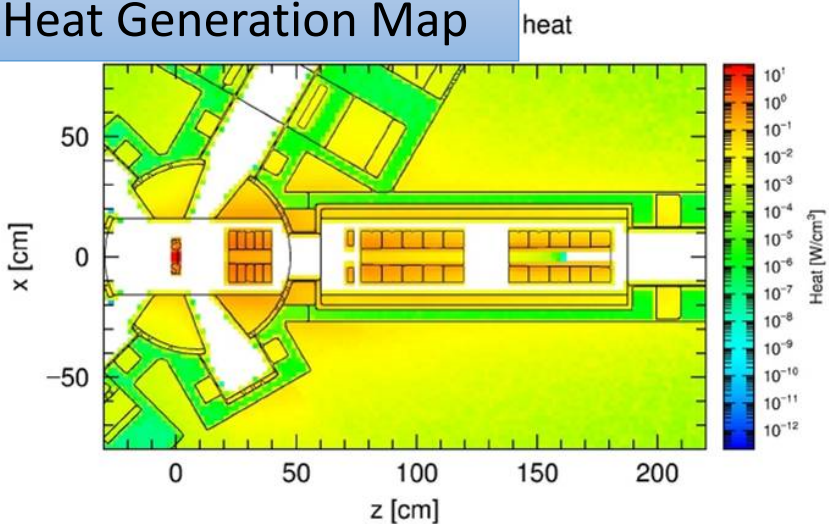
probid = 08/03/02 20:14:39
basis:
( 0.000000, 0.000000, 1.000000)
( 0.000000, 1.000000, 0.000000)
origin:
( 0.00, 0.00, 0.00)
extent = ( -400.00, 400.00)
```

BT line



Evaluated results

Heat Generation Map



Heat generation ⇒ Temperature distribution
(PHITS) (ANSYS)

Heat Generation [kW]

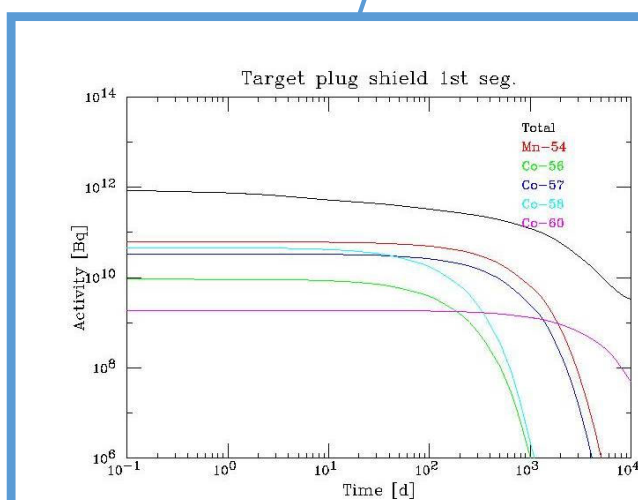
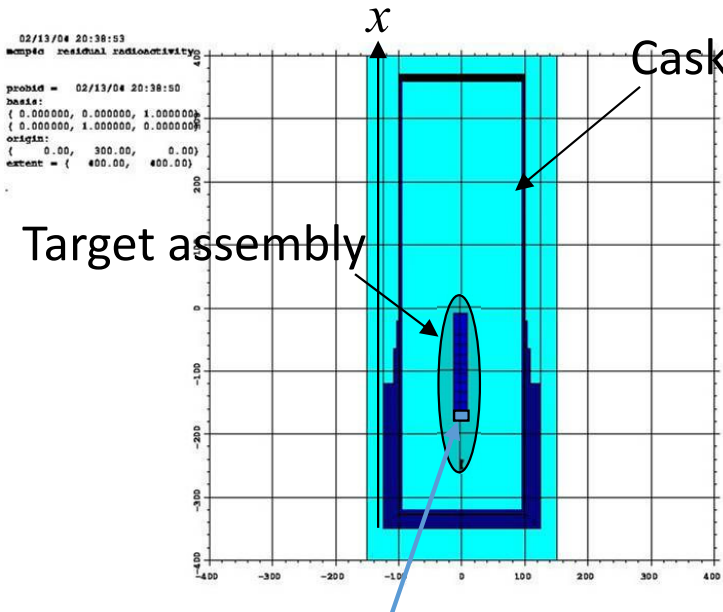
Target	3.3
Scraper #1	5.7
Scraper #2	5.0
Scraper #3	1.8

Dose [MGy/40y]

BT line	QM1	2.0
	QM2	11.8
	QN1	905.0
	QN2	3490.4
	QN3	805.4
	QN4	174.8
M Line	DQ1	4270.0
	DB1	2.0
	SQ1	427.4
	SB1	0.8

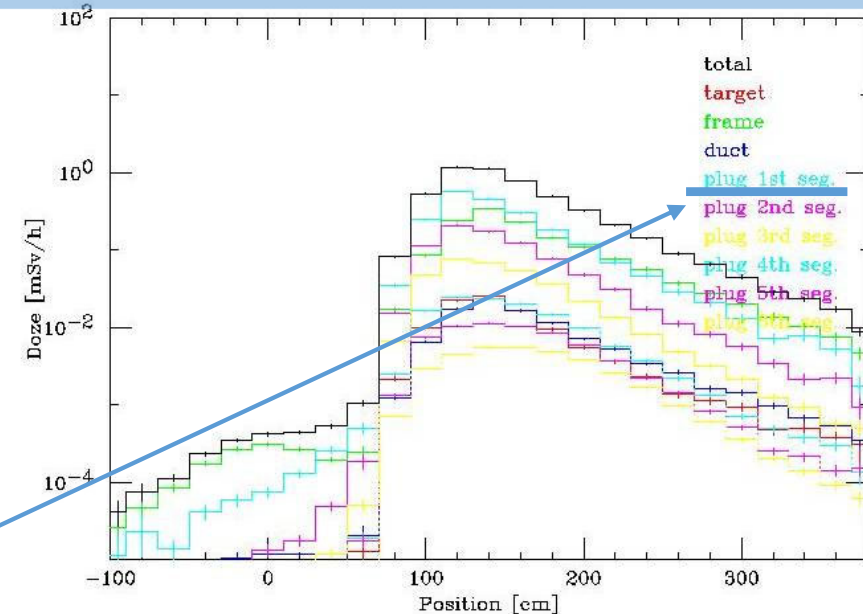
QM1, QM2, QN4, DB1, SB1: polyimide
QN1, QN2, QN3, DQ1, SQ1: MIC

Effect of residual activity



Residual activity in the 1st segment of the target plug

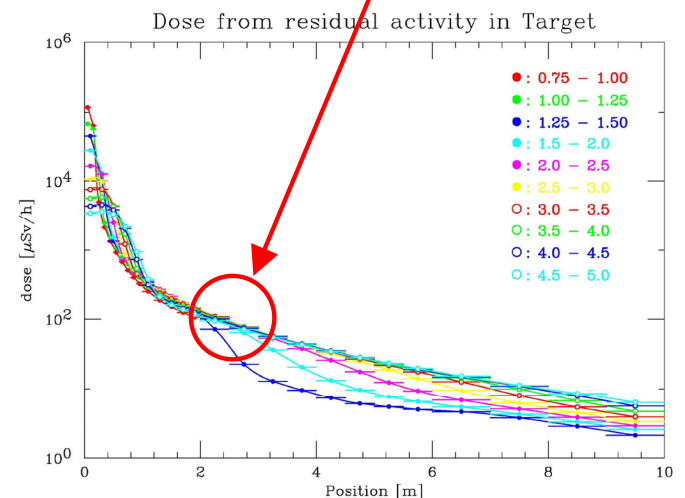
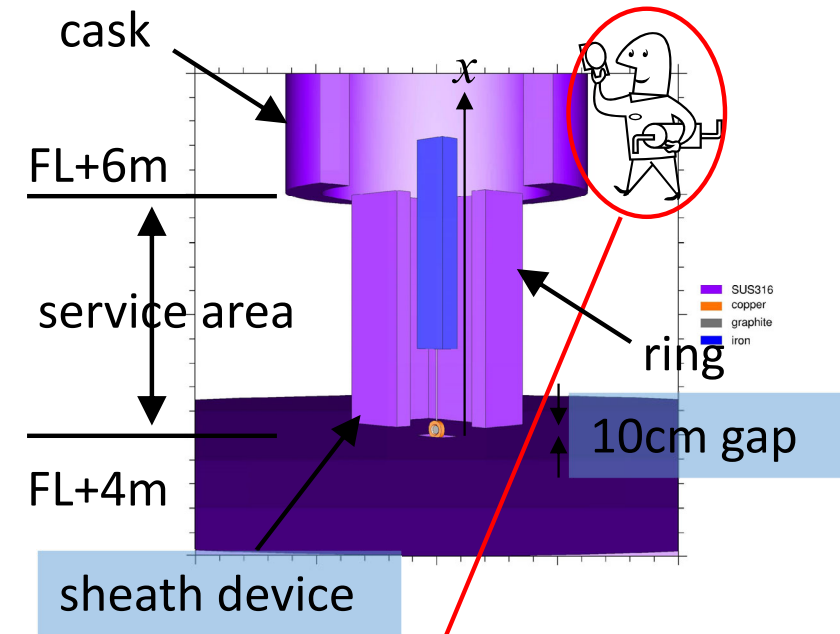
Dose on the cask surface
10-year irradiation and 1-day cooling



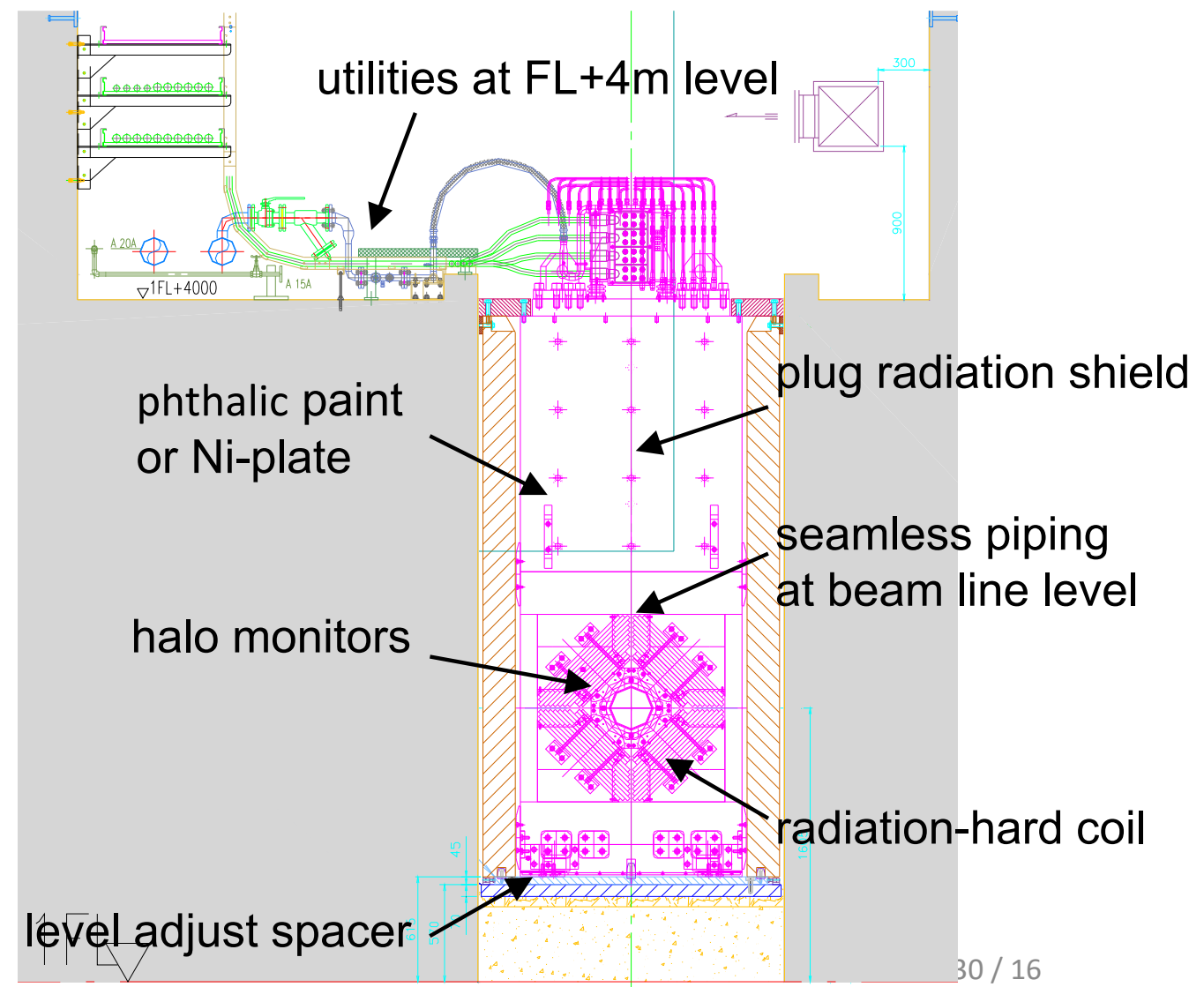
Reality of the maintenance scenario is examined.

Dose during target maintenance

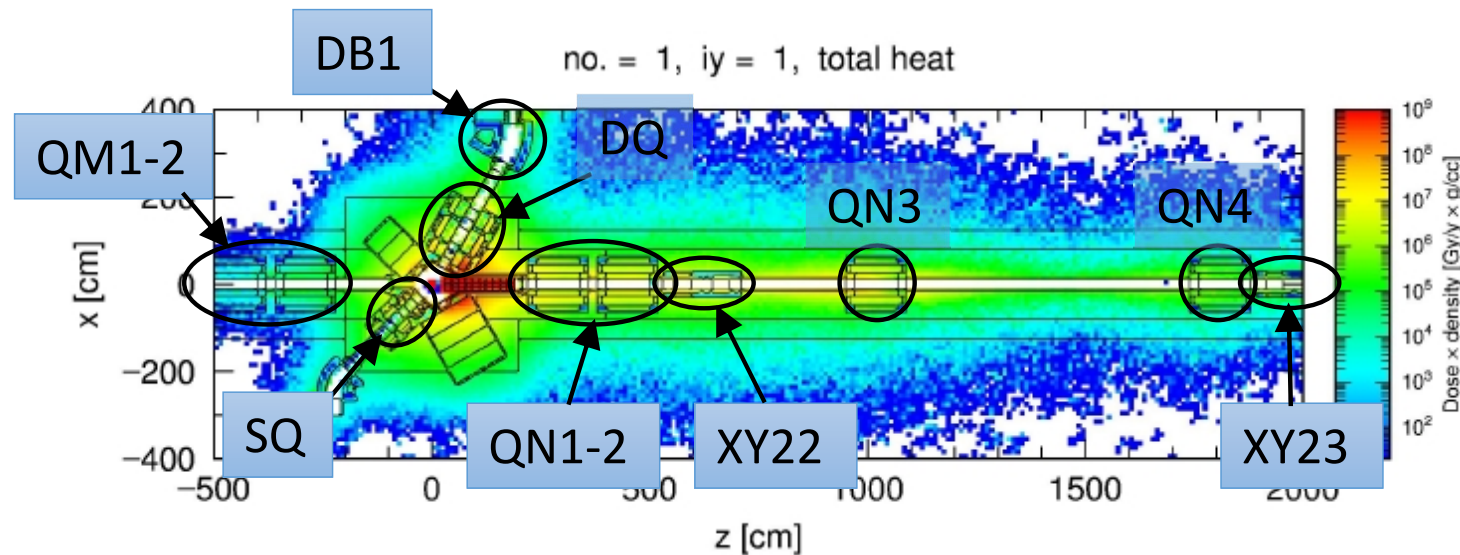
- In principle, target maintenance can be controlled remotely.
 - Accumulated dose is negligible.
- In trouble, one can work
 - for several hours at FL+6m
 - for a few minutes at FL+4m
- A sheath device has to be prepared in several years.



Basic design of M2-tunnel magnets

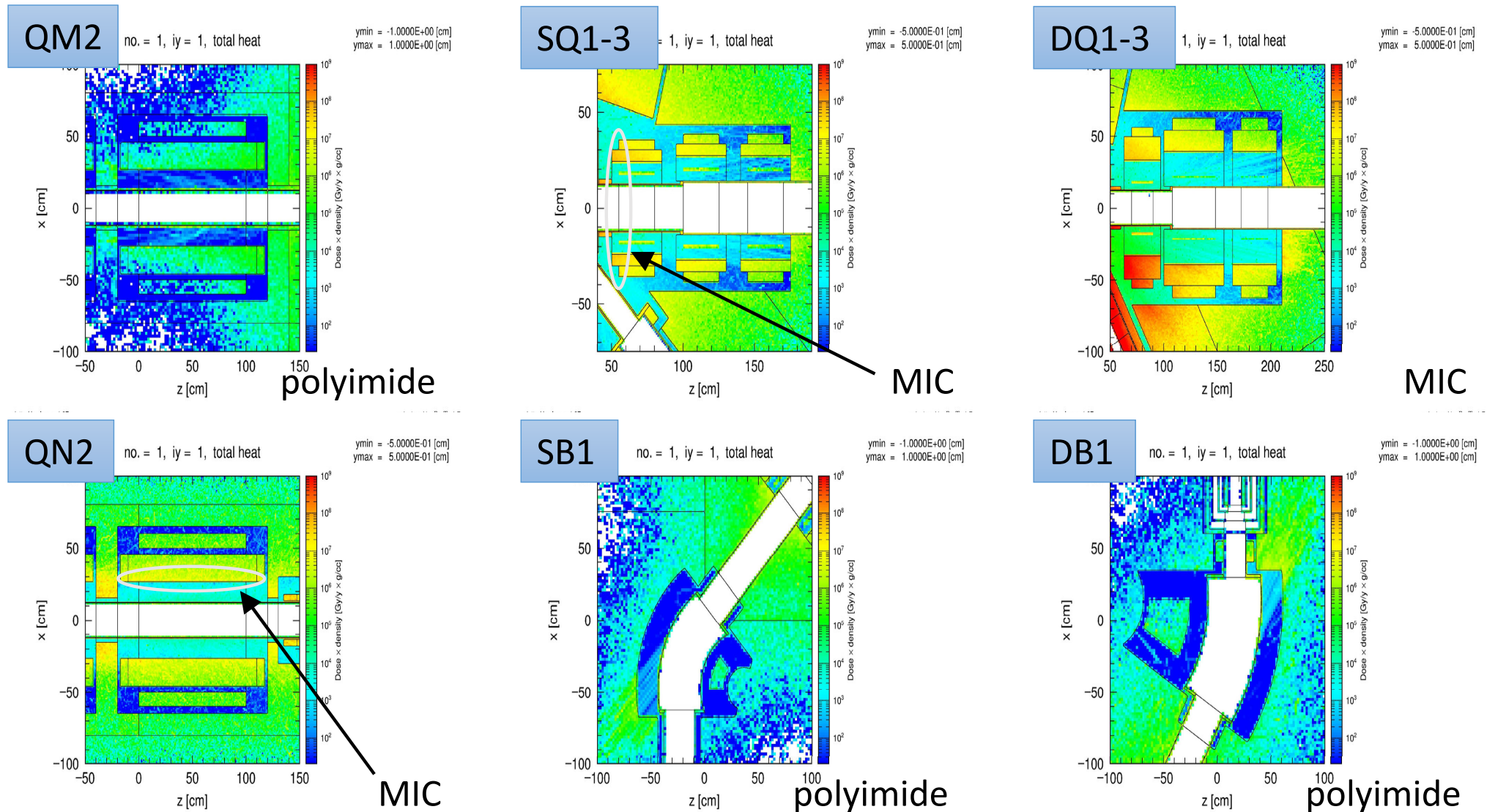


Material determination



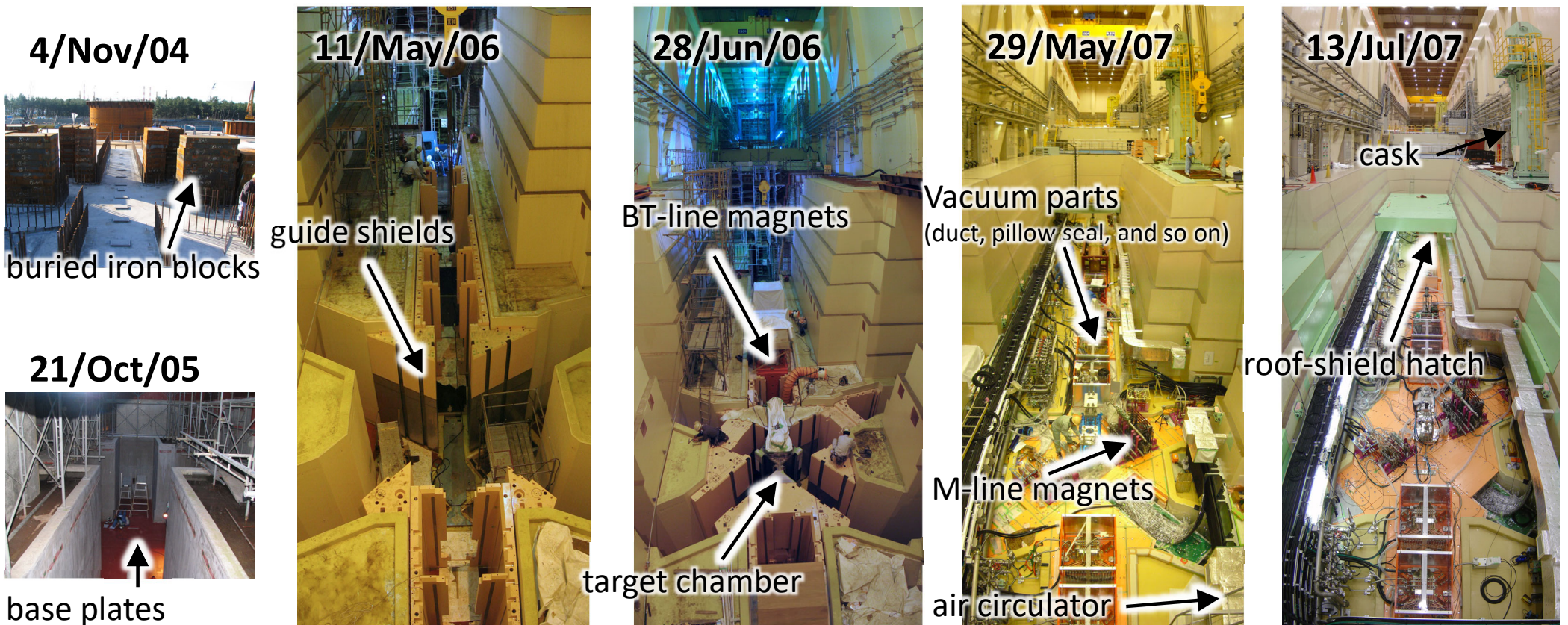
MGy/40y	Yoke	Coil	Pole/Duct	Cable mat.
QM2	0.1	0.7	10.1	Polyimide
QN2	21.3	65.7	2574.9	MIC
X22	202.5	414.7	349.3	MIC
X23	4.4	15.1	19.5	Polyimide
SQ1	75.8	207.8	114.2	MIC
DQ1	271.1	900.4	559.8	MIC
DB1	0.4	2.2	2.0	Polyimide

Material determination



Detailed evaluation: polyimide (average) \Rightarrow MIC (hottest point)

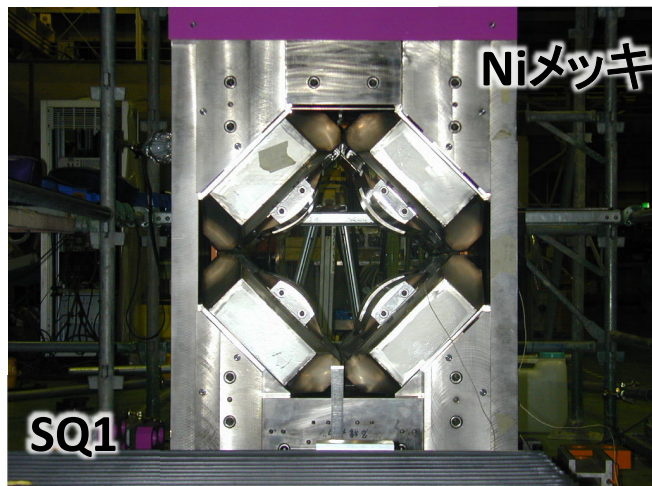
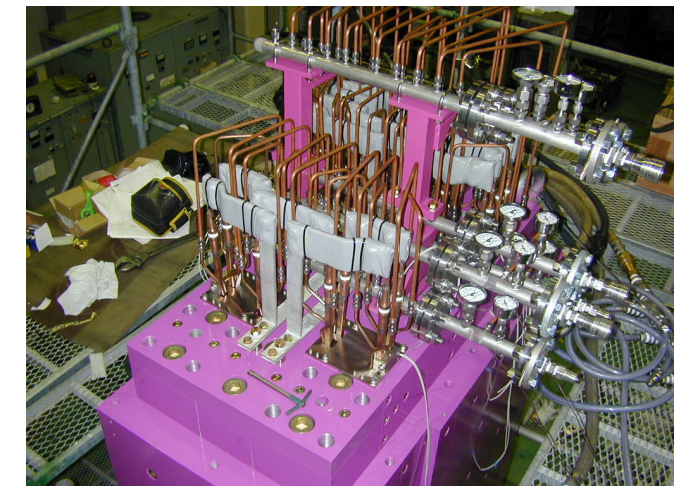
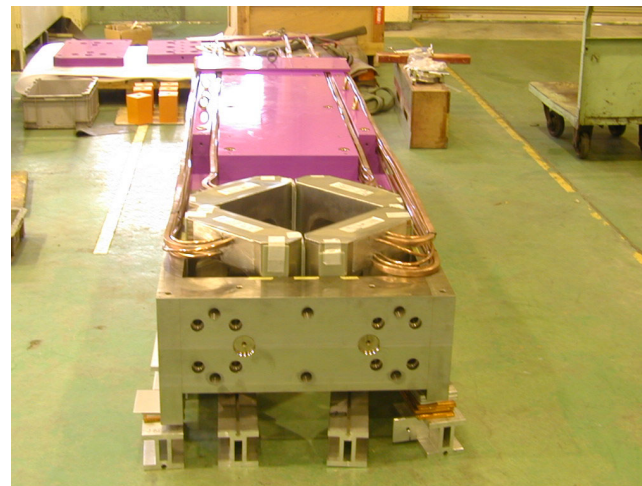
M2 tunnel construction status



FY2004	FY2005	FY2006	FY2007
buried iron block	base plate alignment plate guide shield target chamber	BT magnet air circulator	M magnet CW pipe, cabling cask BT shield vacuum parts

system commissioning

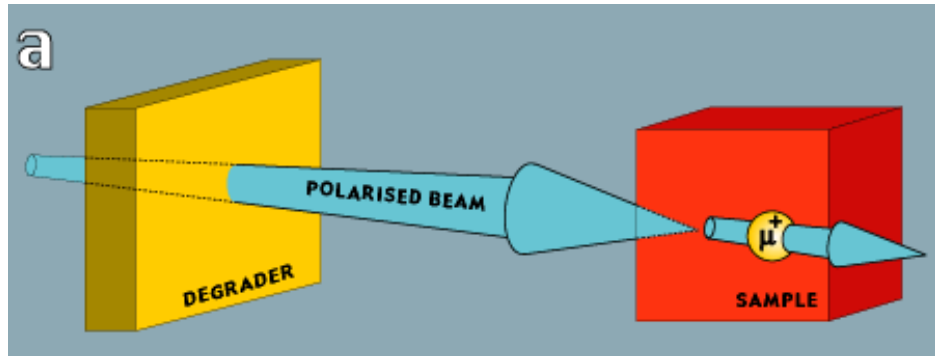
電磁石の製造



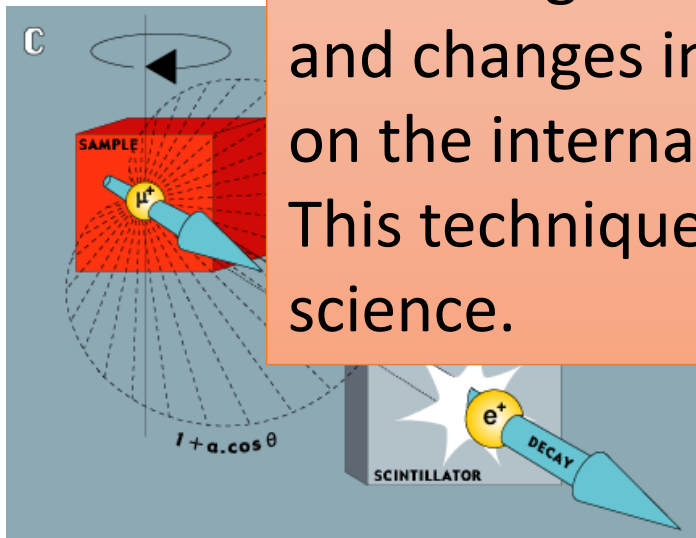
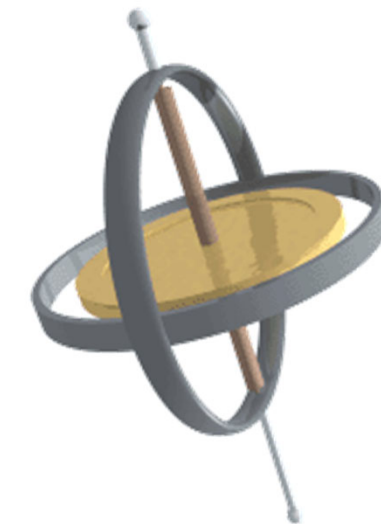
ミュオン科学

少しだけ紹介

μ SR(muon spin Rotation, Relaxation, Resonance)



- a) Almost 100% spin-polarized muon beam is transported from the muon production target to the sample through the beamline



Observing the muon's precession frequency and changes in amplitude gives information on the internal magnetic field of the specimen. This technique is mainly used for material science.

emitted to the
→The time dist
(forward-backw
magetic Field.

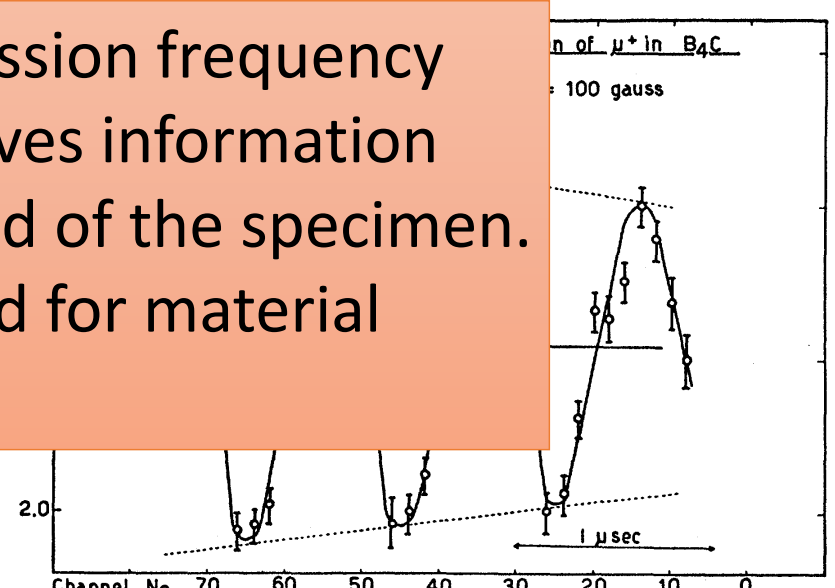
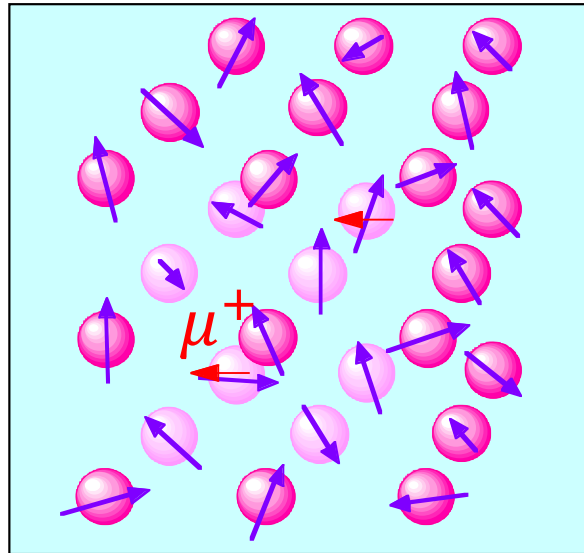


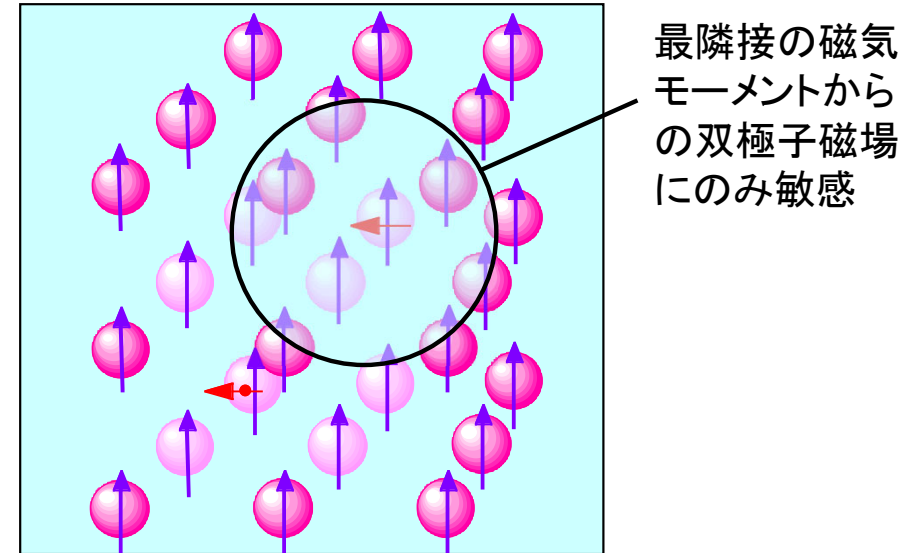
FIG. 7. Muon precession in boron carbide after decay and background correction.

μ SRIによる磁性研究

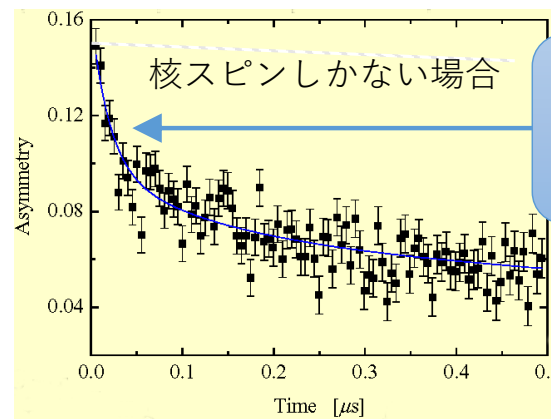
磁気秩序がない状態



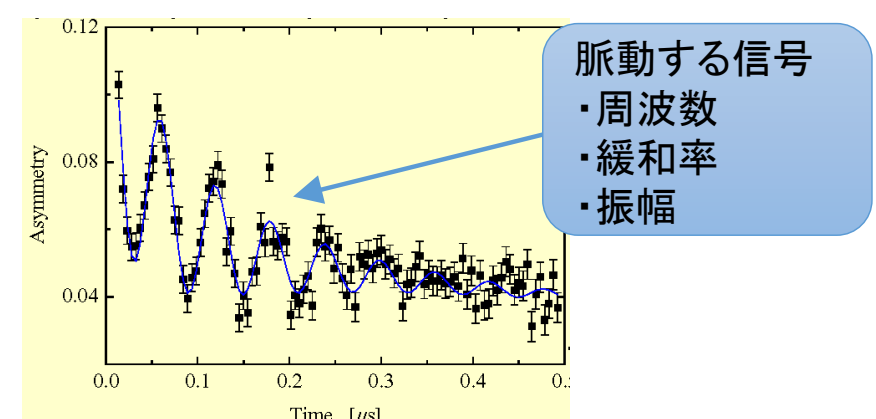
磁気秩序(強磁性)状態



内部磁場はサイトに依存、ミュオンの偏極率も時間とともに減少



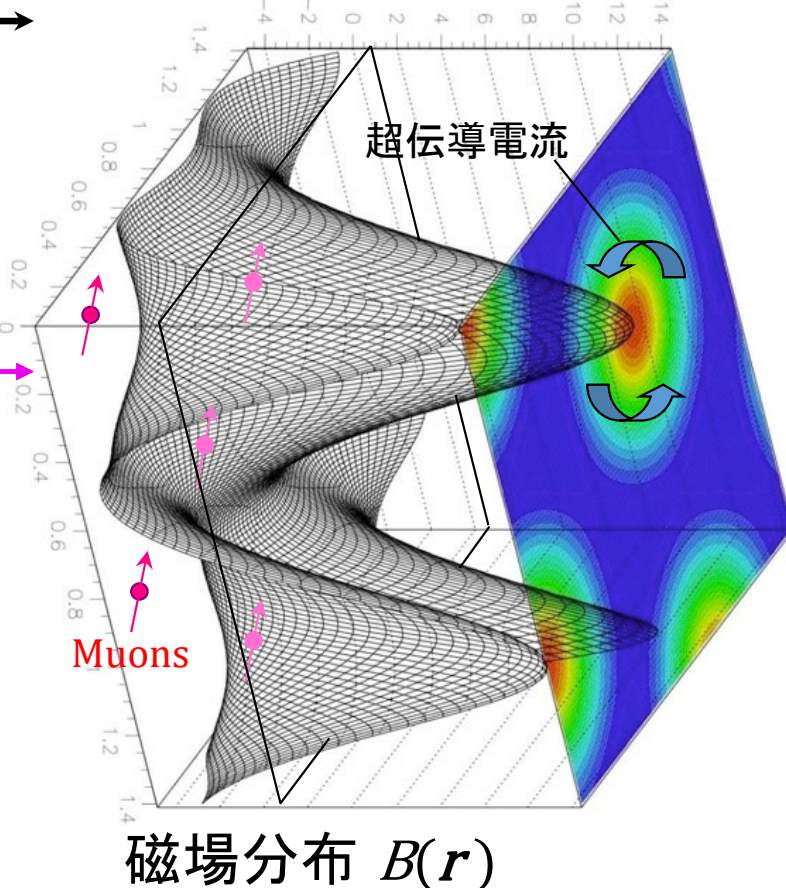
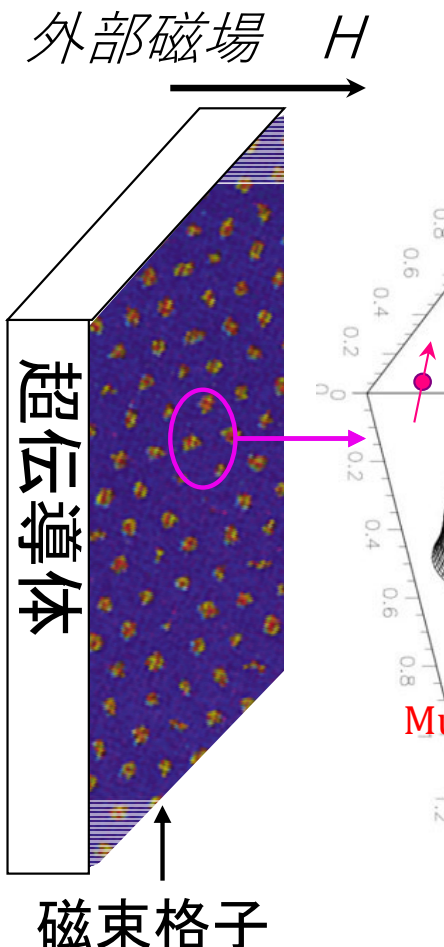
内部磁場はサイト毎に一定、ミュオンスピンは同じ周期で回転



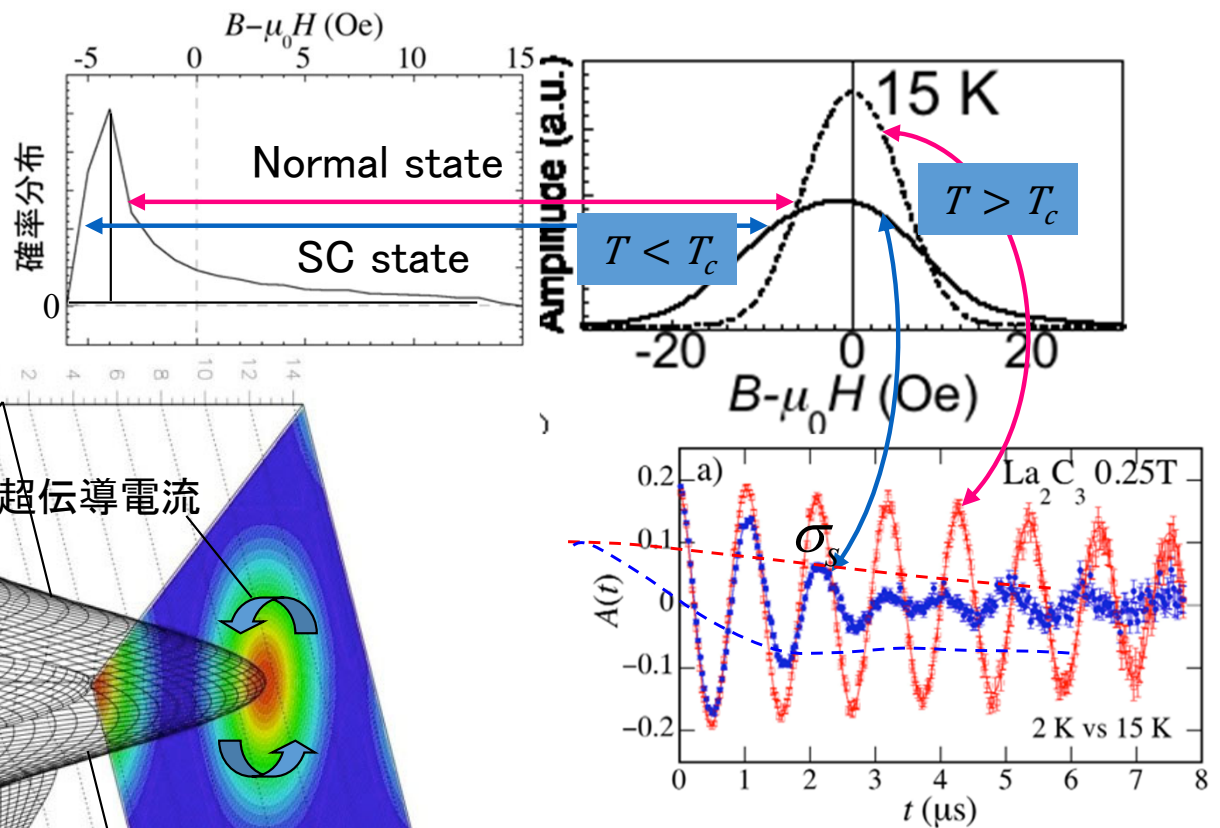
ミュオンの停止位置は空間的に分布があり、磁気構造の違いには必ずしも敏感でない

μSRで超伝導を見る

第二種超伝導体の磁束格子状態
超伝導体中では磁束が規則的に並んだ状態 ⇔ 磁場分布が空間的に不均一



ミュオンは $B(r)$ をランダムにサンプリング



$B(r)$ の分布幅は超伝導電流密度で決まる。

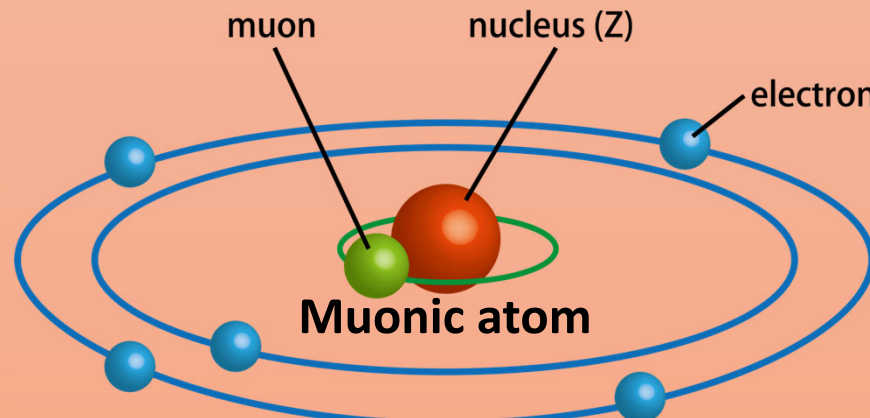
$$\sigma_s \propto \frac{1}{\lambda^2} = \frac{n_s e^2}{m^* c^2}$$

Muonic X-ray measurements

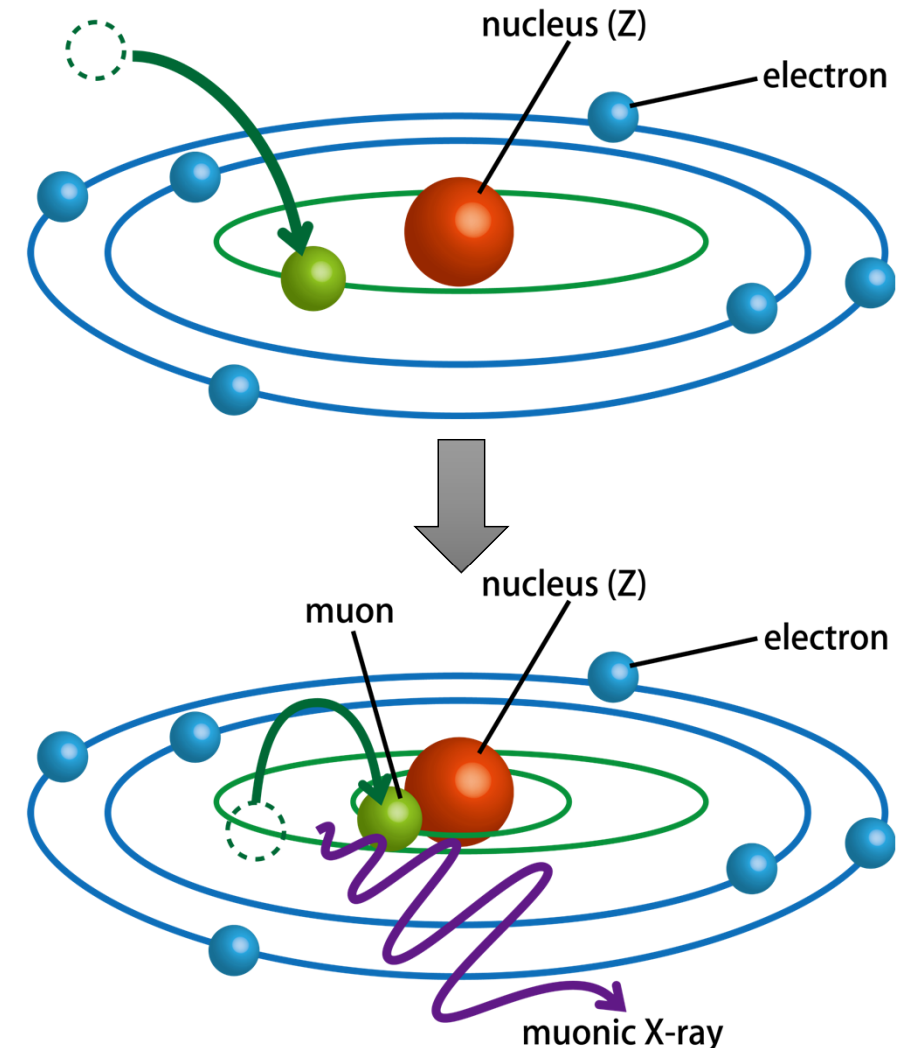
A muon is 200 times heavier than an electron



The orbital of a muonic atom is 200 times smaller



The chrematistic X-ray energy is 200 time higher.

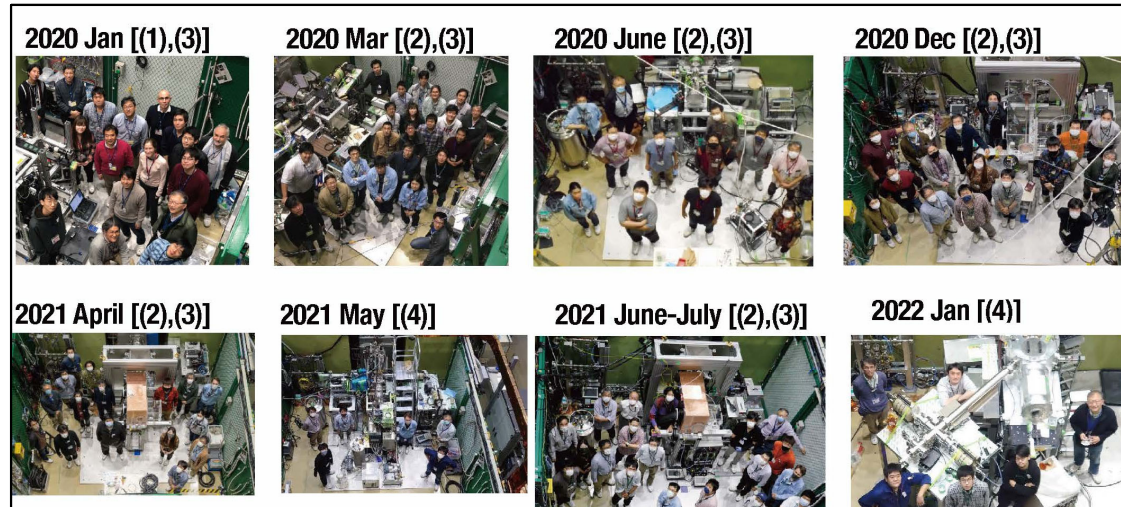


A negative muon captured by an atom loses its energy down to the ground state by emitting X-rays.

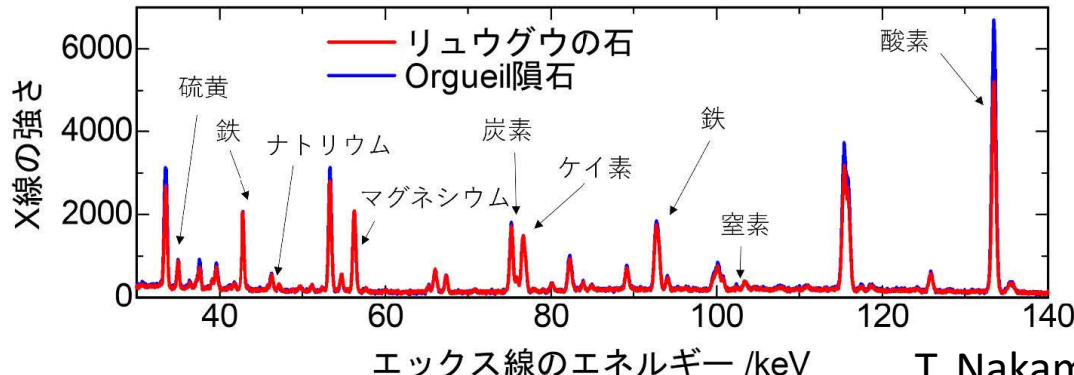
小惑星リュウグウの石を元素分析

中間子科学の地球惑星科学への展開

炭素が多いC型小惑星リュウグウの石の分析では炭素や窒素などの軽元素を含む元素比を定量する必要がある。大気暴露せずに分析する必要がある



多くの分野の研究者が集結、議論しながら実験を実施



T. Nakamura et al., *Science*, 10.1126/science.abn8671 (2022).



リュウグウの石は、太陽系の固体物質の化学組成の基準であるCIコンドライトという種類の隕石と似た組成だが、酸素含有量が少なく、リュウグウの石の方が代表物質に相応しい可能性が示唆された

あなたはミュオンを知っている？

YES → 研究対象を探るツール(プローブ)
ミュオンの分かっている性質を応用して
物質・生命の未知の部分を探る
 $\mu\text{SR} : \gamma_\mu / 2\pi = 135.54 \text{ [MHz/T]}$
非破壊元素分析 : $m_\mu = 105.6 \text{ [MeV/c}^2]$

NO → ミュオン 자체が研究対象
知っている事実(素粒子標準理論)で
説明できない部分がミュオンにはあるはず
それを暴き、素粒子標準理論を超える



Particle Boys
ILC学園3年生
好奇心旺盛で、遺跡や古代ロマンが好き。
ミューオンニュートリノと仲良しで、だいたい一緒にいる。
いつもニコニコしていていまいち掴みどころがない。

なぜミュオン？

素粒子標準理論を超える新物理はミュオンだけに働くわけではない。では、なぜミュオン？

【技術的な理由】

- 作りやすい
 - 重心系で140MeV(Lab系で290MeV)が生成閾値中程度のエネルギーの大強度マシンで**大量生産**
- 見やすい
 - ほどほどの**測りやすい**寿命($2.2\mu s$)で、**検出しやすい**(陽)電子を出して崩壊
スピン偏極したビームが得られ、崩壊で出る(陽)電子はその向きを反映→**ミクロな状態を知りやすい**

なぜミュオン？

【学術的な理由】

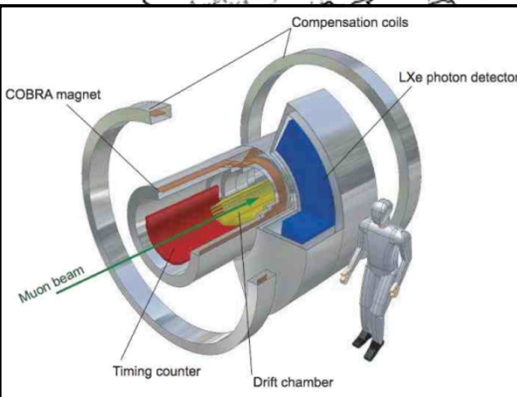
- 内部構造を持たない点状粒子(と考えられている)
 - 理論計算の精度を上げやすい
- 電弱相互作用のみ(強い相互作用が働くかない)
 - 強い相互作用の効果を直接的には受けない
(高次の補正でしか効かない)
 - ミュオニウム(μ^+e^-)は理想的な“水素”
- 新物理の質量スケール
 - 標準理論を超えた物理の感度(現れやすさ)は質量の2乗に比例する。はず
電子は作りやすさではミュオンを圧倒するが、感度は $1/42,000 (=1/205.6^2)$

だからミュオン！

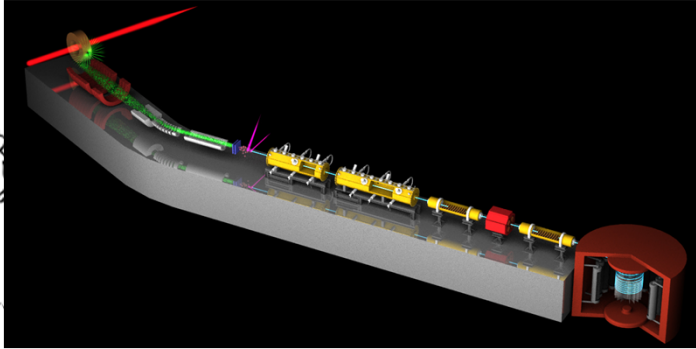
- Higgs粒子の発見により、素粒子標準理論は完成、でも...
- 標準理論が不十分なのは明白
- **大量のミュオン**の中に「標準理論から外れるもの」、「説明できない性質」を探し出す
- ミュオンを用いた新物理探索では観測精度が大事
 - 系統誤差：技術開発で小さくできる
 - 統計誤差：観測するミュオンの数を増やすしかない
だから、**大強度フロンティアのミュオン施設**！

Fundamental Physics using muon

PSI/MEG: $\text{BR}(\mu \rightarrow e \gamma) < 10^{-13}$



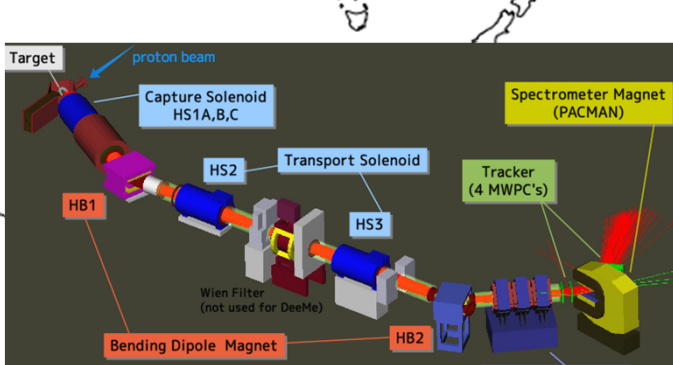
J-PARC: $\mu g-2 < 0.1 \text{ ppm}$



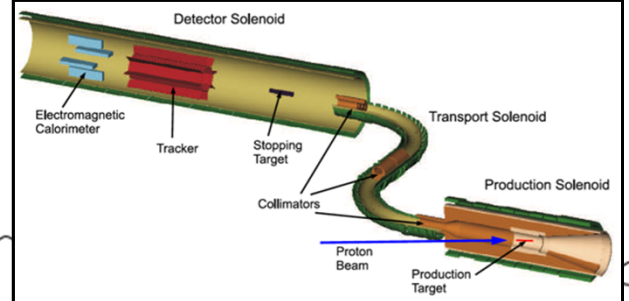
TRIUMF: PiENu



J-PARC: $\text{BR}(\mu - N \rightarrow e - N) < 10^{-14}, 10^{-16}$



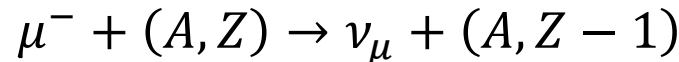
FNAL: $\mu g-2 < 0.1 \text{ ppm}$
BNL: $\mu g-2 < 0.5 \text{ ppm}$
 $>3\sigma$ off from SM



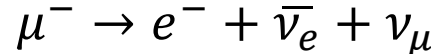
FNAL: $\text{BR}(\mu - N \rightarrow e - N) < 10^{-16}$

ミュオン電子転換過程

ミュオン捕獲(MC)



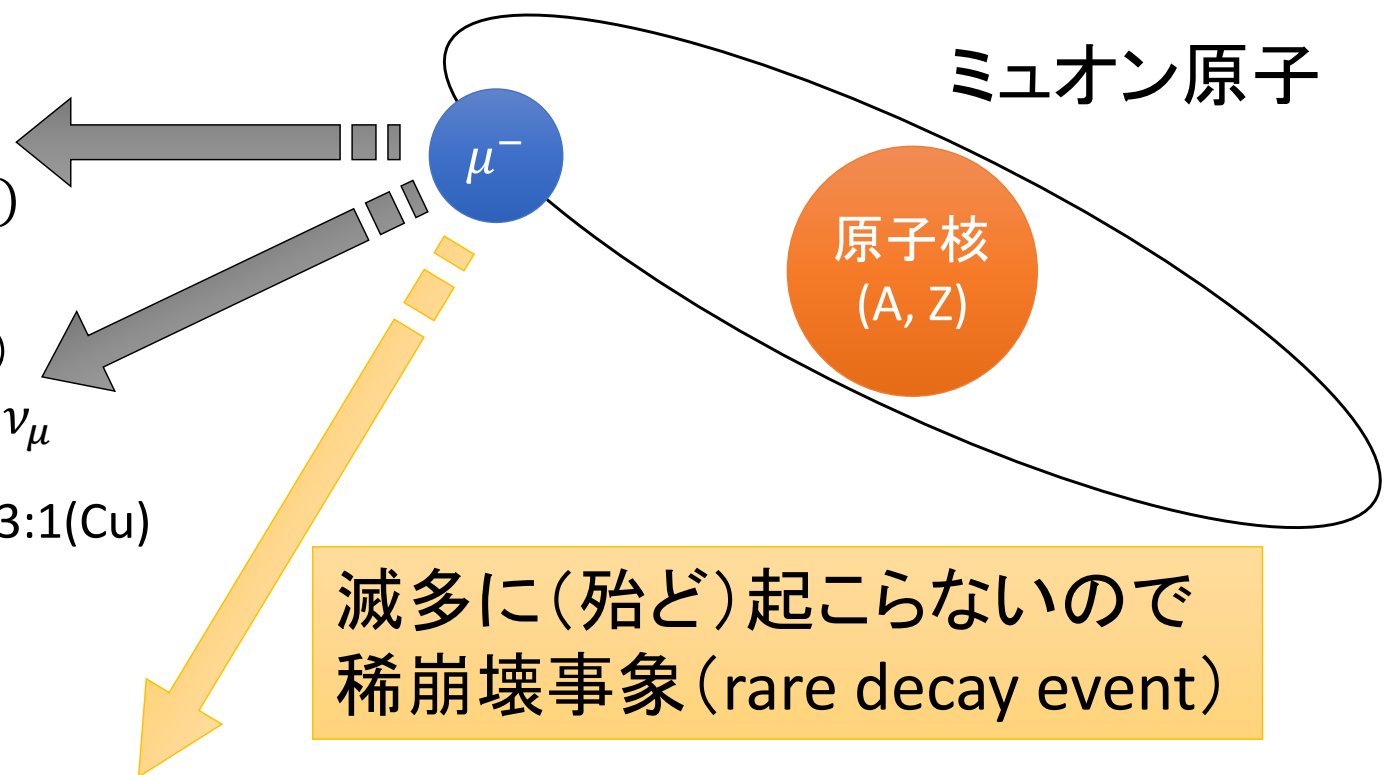
ミュオン崩壊(MDO)



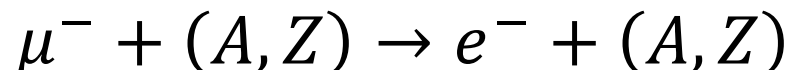
MC:MDO=1:1000(H), 2:1(Si), 13:1(Cu)

Free decay: $\tau_0 = 2.2 \text{ } [\mu\text{s}]$

μ^- in Si: $\tau_{\text{eff}} = 0.76 \text{ } [\mu\text{s}]$



ミュオン電子転換過程 (μ -e Conversion)



荷電レプトン混合によるプロセス

$$\text{BR}[\mu^- + (A, Z) \rightarrow e^- + (A, Z)] \equiv \frac{\Gamma[\mu^- + (A, Z) \rightarrow e^- + (A, Z)]}{\Gamma[\mu^- + (A, Z) \rightarrow \nu_\mu + (A, Z - 1)]}$$

どの程度起こらない？

知知知知知知知知知知知知知知
知知知知知知知知知知知知知知
知知知知知知知知知知知知知知
知知知知知知知知知知知知知知
知知知和知知知知知知知知知知
知知知知知知知知知知知知知知
知知知知知知知知知知知知知知
知知知知知知知知知知知知知知
知知知知知知知知知知知知知知

$$1/198 \cong 5 \times 10^{-3}$$

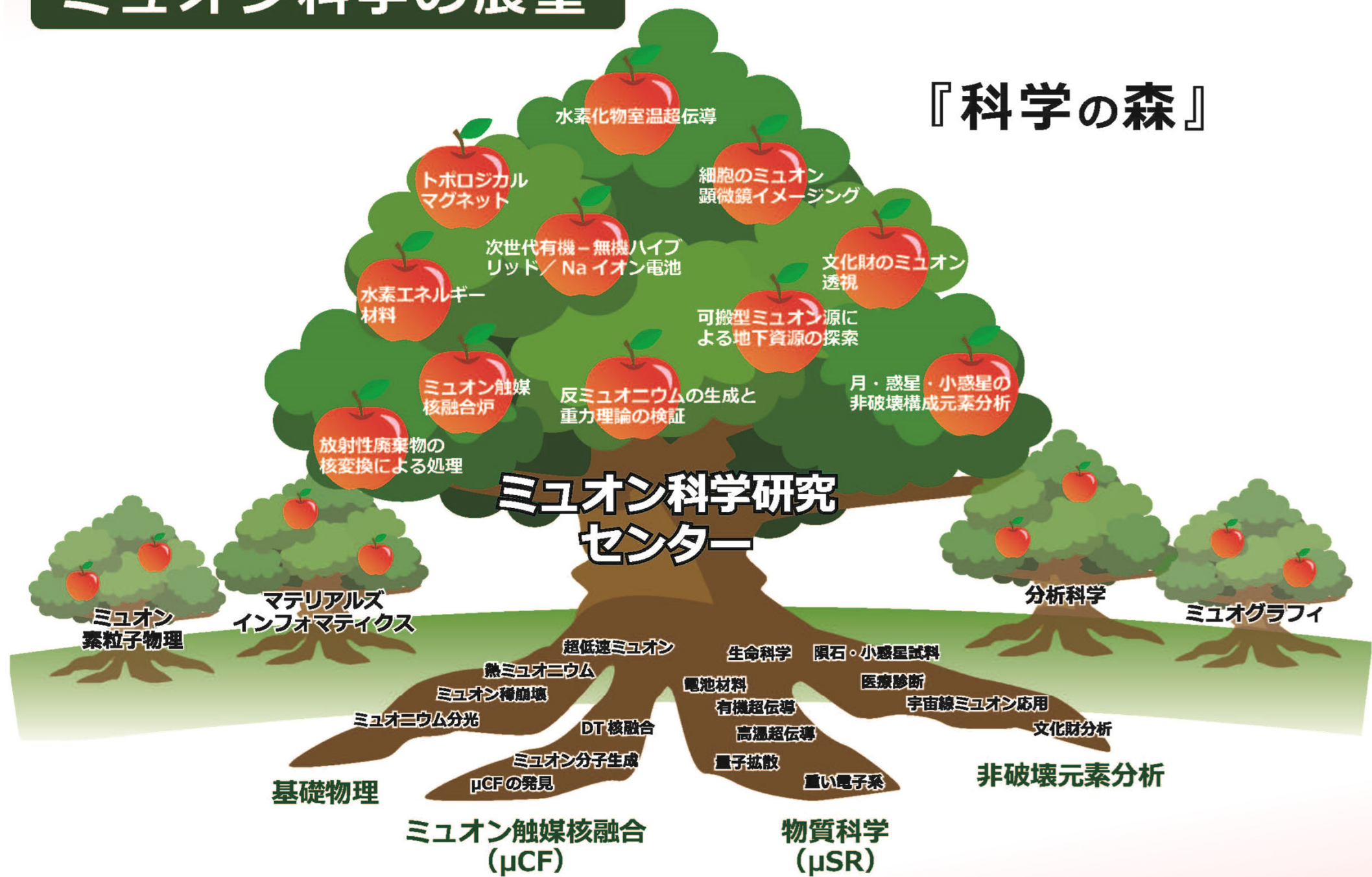
実際には

- ・必要なイベント数は $10^{12} \sim 10^{14}$
- ・A4に25nm角の大きさで「知」を書くと 10^{14} 個になる
- ・ 10^{14} 個のミュオンを作るのも大変(J-PARCで最強のビームラインでも100日以上)
その中の1個を探すのも大変(何か工夫)

知知知知知知知知知知知知
知知知知知知知知知知知知
知知知知知知知知知知知知
知知知知知知知知知知知知
知知知知知知知知知知知知
知知知和知知知知知知知知
知知知知知知知知知知知知
知知知知知知知知知知知知
知知知知知知知知知知知知
知知知知知知知知知知知知

ミュオン科学の展望

『科学の森』



ちょっと宣伝

- 大強度施設の標的などに関する国際ワークショップ開催
理研和光キャンパス
11/6 - 11/10
- Registration
9/10 - 10/15
- <https://indico2.riken.jp/event/3102/>



8th High Power Targetry Workshop

Nov 6-10, 2023

Venue: RIKEN Wako campus

SCOPE :

The HPT Workshop brings together scientists and engineers from the international community for particle accelerator targetry. Applications include neutrino facilities, neutron facilities, radioactive ion beam facilities, material irradiation facilities, accelerator driven systems and precision experiments for rare processes.

Themes for the workshop include :

1. R&D to support concepts
2. Radiation damage in target material and related simulations
3. Post-irradiation examination
4. Target design, analysis and validation of concepts
5. Target facility challenges
6. Construction, fabrication, inspection, quality assurance
7. Operation of targets and beam dumps
8. Multipurpose use of targets and beam dumps

Scientific Program Committee

- C. Boehlert (MSU/CHEMS)
 M. Calviani (CERN)
 Y. Dai (PSI)
 C. Densham (STFC/RAL)
 A. Gottberg (TRIUMF)
 P. Hurh (FNAL)
 D. Kim (BNL)
 Y. Lee (ORNL)
 T. Naoe (JAEA/J-PARC)
 H. Okuno (RIKEN)
 F. Pellemeoine (FNAL)
 D. Winder (ORNL)
 C. Stodel (GANIL)
 T. Stora (CERN)
 H. Weick (GSI)
 M. Wohlmuther (ESS)

Local Organizing Committee

- H. Okuno (Chair, RIKEN)
 S. Makimura (Co-chair, KEK/J-PARC)
 T. Adachi (RIKEN)
 M. Futakawa (JAEA/J-PARC)
 K. Haga (JAEA/J-PARC)
 H. Hasebe (RIKEN)
 H. Imao (RIKEN)
 N. Kawamura (KEK/J-PARC)
 Y. Miyake (RIKEN)
 T. Naoe (JAEA/J-PARC)
 T. Nishi (RIKEN)
 K. Sakuma (RIKEN)
 H. Takahashi (KEK/J-PARC)
 A. Uchiyama (RIKEN)
 K. Yoshida (RIKEN)